



M Ű E G Y E T E M 1 7 8 2

Budapesti Műszaki és Gazdaságtudományi Egyetem

Villamosmérnöki és Informatikai Kar

Automatizálási és Alkalmazott Informatikai Tanszék

# Pályatervezési és mozgásirányítási algoritmusok fejlesztése mobil robotokhoz

*Készítette*

Csorvási Gábor, Nagy Ákos

*Konzulens*

Kiss Domokos

2014. október 20.

# Tartalomjegyzék

<b>Kivonat</b>	<b>3</b>
<b>Abstract</b>	<b>5</b>
<b>1. Pályatervezés elmélete - 5 oldal CsG/NA</b>	<b>7</b>
1.1. Megoldandó feladat . . . . .	7
1.2. Lokális módszerek . . . . .	7
1.3. Globális módszerek . . . . .	7
<b>2. Az RTR algoritmus</b>	<b>8</b>
2.1. RRT algoritmus . . . . .	8
2.2. RTR algoritmus . . . . .	9
2.2.1. Mintavételezés . . . . .	10
2.2.2. Csomópont kiválasztás . . . . .	10
2.2.3. Kiterjesztés . . . . .	11
2.2.4. Útvonal meghatározása, optimalizálása . . . . .	13
2.3. Eredmények . . . . .	14
<b>3. A C*CS, <math>c\bar{c}S</math> algoritmus</b>	<b>17</b>
3.1. Reeds-Shepp lokális pályák . . . . .	17
3.2. C*CS lokális pályák . . . . .	17
3.3. C*CS approximációs módszer . . . . .	18
3.3.1. Globális tervező . . . . .	18
3.3.2. Lokális tervező . . . . .	19
3.3.3. ARM . . . . .	19
3.3.4. CS . . . . .	20
3.4. $c\bar{c}S$ . . . . .	20
3.5. Eredmények . . . . .	21
<b>4. Pálya időparaméterezése</b>	<b>23</b>
4.1. Jelölések . . . . .	24
4.2. Differenciális robotmodell . . . . .	25
4.2.1. Korlátozások . . . . .	26
4.2.2. Geometriai sebességprofil . . . . .	27

4.2.3. Újramintavételezés . . . . .	31
4.3. Autószerű robotmodell . . . . .	36
4.3.1. Korlátozások . . . . .	37
4.3.2. Geometriai sebességprofil . . . . .	37
<b>5. Pályakövető szabályozás - 10 oldal CsG/NA</b>	<b>39</b>
5.1. Differenciális robotmodell - 4 oldal NA . . . . .	39
5.1.1. Sebesség szabályozás - 2 oldal . . . . .	39
5.1.2. Orientáció szabályozás - 2 oldal . . . . .	39
5.2. Autószerű robotmodell - 4 oldal CsG . . . . .	39
5.2.1. Virtuális vonalkövező szabályozás - 2 oldal . . . . .	39
<b>6. Algoritmusok megvalósítása - 4 oldal CsG/NA</b>	<b>40</b>
6.1. Szimuláció . . . . .	40
6.2. Valós robotok . . . . .	40
<b>7. Összegzés - 1 oldal CsG/NA</b>	<b>41</b>
7.1. Értékelés . . . . .	41
7.2. Jövőbeli fejlesztések . . . . .	41
<b>Irodalomjegyzék</b>	<b>42</b>

# Kivonat

A mobil robotok manapság egyre inkább feltörekvőben vannak. Már nem csak az ipar fedezi fel őket, hanem lassan a mindennapi életünk részévé válnak. Azonban még rengeteg elméleti és gyakorlati kérdés vár megoldásra, hogy az ilyen robotokkal rendszeresen találkozunk. A mobil robotika egyik legalapvetőbb kérdése az akadályok jelenlétében történő mozgás-tervezés és mozgásvégrehajtás. A dolgozatban ezt a kérdéskört járjuk körül, foglalkozunk a globális és lokális geometriai pályatervezéssel, pályamenti sebességprofil kialakításával, valamint pályakövető szabályozással. Ezeket két, síkban mozgó, kerekeken guruló robotmodellre alkalmazzuk, mint szimulált, mint valós környezetben.

A dolgozatban bemutatjuk a leggyakrabban használt pályatervezési algoritmusokat, és az ezekhez kapcsolódó előnyöket és problémákat. Külön kitérünk az általunk vizsgált (differenciális és autószerű) robotmodelleknél felmerülő kinematikai korlátozásokra, és ezek hatásaira a pályatervezésben. Egy approximációs pályatervezési megközelítést mutatunk be a dolgozatunkban, amely egy globális és egy lokális tervező algoritmus együttes használatán alapszik.

Az általunk alkalmazott RTR (Rotate-Translate-Rotate) globális tervező a szakirodalomból jól ismert RRT (Rapidly Exploring Random Trees) eljárásan alapul. Az RTR lényege, hogy a kiindulási és a cél konfigurációból két topológiai fát épít, és amennyiben ezek elérik egymást, a keresett pálya könnyedén előállítható. A pálya forgásokból (R) és transzlációs mozgásokból (T) áll, így differenciális robotok számára közvetlenül is végrehajtható pályát eredményez. További lényeges tulajdonsága, hogy figyelembe veszi a robot pontos alakját. Ez hatékony tervezést tesz lehetővé szűk folyosókat tartalmazó környezet esetén is, szemben az elterjedtebb, a robot alakját körrel helyettesítő módszerekkel.

A megtervezett geometriai pálya még nem tartalmaz információt a mozgás időparaméterezésére (a robot sebességére, gyorsulására vagy szögsebességére) nézve. Ezért bemutatunk egy általunk kifejlesztett algoritmust a pályamenti sebességprofil meghatározására. Ezt a profilt a robot maximális sebessége, maximális gyorsulása, maximális szögsebessége és a robot kerekeinek maximális gyorsulása alapján számoljuk ki. Az így kialakuló pályát ezután újramintavételezzük, hogy időben egyenletes mintavételű pálya álljon rendelkezésre pályakövető szabályozás számára.

A pályakövető algoritmus a robot pályamenti sebességét és a szögsebességét függetlenül szabályozza. A szétcsatolt rendszer sebesség és szögsebesség beavatkozó jeleit a robot kinematikai egyenletei alapján átalakítjuk keréksebesség beavatkozó jelekre. A sebesség-szabályozási kör a robot tényleges pozíciója alapján egy PD szabályozón keresztül korri-

gálja az előírt sebességprofilt. A szögsebesség-szabályozás egy mozgás közbeni orientáció korrekciót hajt végre, melynek alapját a robot későbbi előírt pozíciói képezik.

A fent leírt algoritmusokat differenciális robotmodellt feltételezve alakítottuk ki. A dolgozatban bemutatjuk azokat a módosításokat, illetve kiegészítéseket, amelyek lehetővé teszik a pályatervezést és követést autószerű (kormányzott) robotok esetében is. Ennek keretében bemutatjuk a C\*CS lokális pályatervező algoritmust, amely az RTR algoritmussal együtt alkalmazva olyan pályát eredményez, amely figyelembe veszi az autó minimális fordulási sugarát.

Az algoritmusokat a V-REP robotszimulációs környezetben implementáltuk és teszteltük, majd működésüket két valós roboton is vizsgáltuk.

# Abstract

The research and application of mobile robots is nowadays increasingly widespread. Beyond industrial applications they are getting popular in personal usage as well. However, there are a lot of theoretical and practical issues to be resolved. One of the most fundamental aspects of mobile robotics is motion planning and control in environment populated with obstacles. In this paper we discuss global and local geometric path planning, velocity profile generation and motion control along the path. We simulated the investigated methods and tested with differential and car-like robots.

In this paper we present the most commonly used path planning algorithms, and their benefits and disadvantages. We discuss the kinematic constraints for the tested (differential and car-like) robot models and the consequences of these constraints. We present an approximation method for path planning, which is based on a global and a local planner algorithm.

We use the RTR (Rotate-Translate-Rotate) global path planner algorithm, which is based on the well-known RRT (Rapidly Exploring Random Trees) method. The RTR builds two search trees starting from the initial and the goal configuration. If these paths reach each other, the solution can be obtained easily. The path consists of rotation (R) and translation (T) motion primitives, so the path is directly applicable for differential drive robots. Furthermore, the RTR-planner takes the precise shape of the robot into account, which makes possible to find a path in an environment with narrow corridors. This is advantageous compared to other methods which assume circular robot shape.

The path generated by the RTR-planner does not contain any information about the robot's velocity, acceleration and angular velocity. Therefore, we present an algorithm developed to determine the velocity profile. The profile is based on parameters such as the robot's maximum velocity, maximum acceleration, maximum angular velocity along the path and the maximum acceleration of the robot's wheels. After velocity profile generation the geometric path needs to be re-sampled to obtain a path having uniform time-sampling for the motion controller.

The path following algorithm controls the robot translational and angular velocity in two independent control loops. The translational and angular velocity control signals of the decoupled system are converted to wheel velocity control signals based on the robot kinematic equations. The velocity control loop adjusts the velocity profile with a PD controller based on the robot current position. The angular velocity controller is based on orientation error between the current robot configuration and a future path point.

The algorithms described above are developed primarily for differential robots, but can be extended for car-like robots as well. In this context we introduce the C\*CS local path planner method, which takes into account the minimal turning radius of the car and can be applied together with the RTR planner in order to obtain a feasible path for this robot class.

We have implemented and tested the algorithms in V-REP robot simulation framework and with real robots as well.

## 1. fejezet

# Pályatervezés elmélete - 5 oldal CsG/NA

### 1.1. Megoldandó feladat

### 1.2. Lokális módszerek

A topológiai feltétel definíciója:

$$\begin{aligned} \forall \epsilon > 0, \exists \eta > 0, \forall q_0, q_1 \in C \\ d_C(q_0, q_1) < \eta \rightarrow d_C(q_0, \text{Steer}(q_0, q_1)(\sigma)) < \epsilon \\ \forall \sigma \in [q, S] \end{aligned} \tag{1.1}$$

### 1.3. Globális módszerek



## 2. fejezet

# Az RTR algoritmus

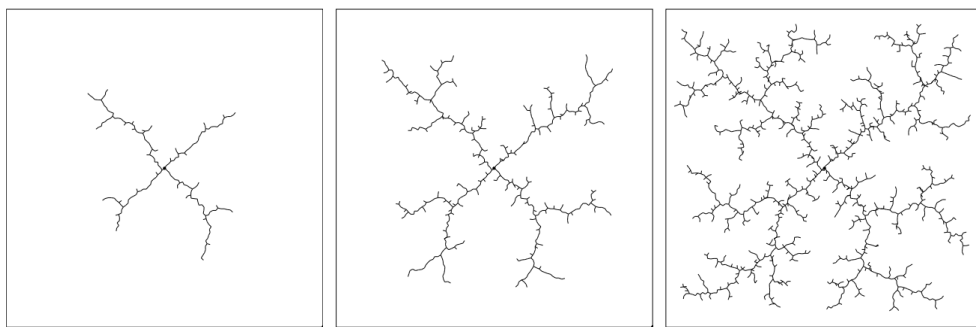
Az RTR (Rotate-Translate-Rotate) algoritmust Kiss Domokos dolgozta ki [2]. A mi feladatunk az algoritmus implementálása volt C++ nyelven, majd az algoritmus tesztelése szimulációs környezetben és valós roboton.

Az algoritmus az irodalomból gyakran használt RRT algoritmuson alapszik, ezért ennek a bemutatásával kezdjük a fejezetet.

### 2.1. RRT algoritmus

Az RRT (Rapidly Exploring Random Trees) algoritmus lényege, hogy a kezdeti konfigurációból egy fát építünk a szabadon bejárható térben [4]. A fa csomópontjaiban általában konfigurációk találhatók és a fa terjesztését úgy irányítjuk, hogy a kívánt cél konfiguráció felé tartson. Ha a fa ténylegesen eléri a cél konfigurációt, akkor az utat a kezdeti konfigurációból a cél konfigurációba már könnyedén megkaphatjuk.

Létezik olyan változata az RRT algoritmusnak, ahol nemcsak a kezdeti konfigurációból építünk fát, hanem a cél konfigurációból vagy akár több köztes pontból is.



**2.1. ábra.** Az RRT algoritmus három különböző iterációnál.

A fa építés úgy kezdődik, hogy véletlen konfigurációkat veszünk a környezetből ( $q_{rand}$ ). Ezt hívják *mintavételezési szakasznak*. Ezután meghatározzuk, hogy a fában melyik konfiguráció van a legközelebb a mintavételezett konfigurációhoz ( $q_{near}$ ). Ez a *csomópont kiválasztó szakasz*. Előfordulhat, hogy csak a fa csomópontjaiból választunk konfigurációkat, de gyakran nemcsak ezeket választjuk, hanem a fa csúcspontjai közötti élek egy köztes

konfigurációját.

A következő lépésben megpróbáljuk a  $q_{rand}$  és a  $q_{near}$  konfigurációkat interpolálással összekötni (*összekötő szakasz*). Itt több variációja is létezik az RRT algoritmusnak. Előfordul, hogy  $q_{near}$  konfigurációból csak egy bizonyos fix  $\Delta q$  értékkel közelítünk  $q_{rand}$  felé. A másik esetben addig terjesztjük a fát amíg el nem érjük  $q_{rand}$  konfigurációt vagy amíg nem ütközik a robot. Ebben az esetben a kapott konfiguráció a legmesszebb található ütközés mentes konfiguráció lesz  $q_{rand}$  irányában. Az újonnan kapott konfigurációt végül hozzáadjuk a fához.

Anholonom rendszerek esetén is használható az RRT eljárás. Ekkor az összekötésnél egyszerű interpolációt nem lehet alkalmazni, mert az azt feltételezné, hogy a robot minden irányba szabadon képes mozogni. Ehelyett az összekötést egy lokális tervező segítségével kell megoldani vagy egyszerűbb esetben itt is használható az a módszer, hogy csak egy adott  $\Delta q$  értékkel közelítünk  $q_{rand}$  irányába. Ehhez megfelelő beavatkozó jelet ( $\Delta u$ ) kell választanunk, amit  $\Delta t$  ideig alkalmazva elérhető  $\Delta q$  állapotváltozás.

Az előbb ismertetett fázisok alkotják a fa terjesztésének egy lépését. Több fa esetén természetesen mindegyiknél végre kell hajtani a fázisokat. A terjesztést addig kell folytatni, amíg el nem érjük a kívánt konfigurációt, vagy több fa esetében, amíg a fák nem kapcsolhatók össze.

## 2.2. RTR algoritmus

Ha differenciális robotnál használunk valamilyen  $\Delta u$  beavatkozójelet az összekötő fázisban, akkor a fa csúcspontjai között görbék lesznek. Ez nehézséget okozhat, ha olyan *csomópont-választó eljárást* alkalmazunk, ami köztes konfigurációt ad vissza. Természetesen alkalmazhatjuk azt az eljárást, hogy csak az élek végpontjait választjuk ki, köztük nem interpolálunk. Ehhez viszont kis távolságú élek szükségesek, ami növeli a fa csomópontjainak számát és ezzel összefüggésben a csomópont kiválasztások számát is.

Lehetőségünk van differenciális robotnál is lokális tervezőt alkalmazni két konfiguráció közti állapotváltozásra. A legegyszerűbb lokális tervező három lépésből áll:

- Egy helyben fordulás a kívánt konfiguráció irányába (R).
- Mozgás egyenes pályán a cél pozícióba (T).
- Egy helyben fordulás a cél konfiguráció irányába (R).

Ennek a tervezőnek az az előnye, hogy fa élei egyenes pályák lesznek, így egyszerűn tudjuk meghatározni a köztes konfigurációkat is és egzakt módon leírhatjuk a mozgásokat, nem kell mintavételezést alkalmaznunk.

A jelenleg ismertetett módon alkalmazva az RRT algoritmust szűk folyosók esetében igen nehezen találna megoldást az eljárás, abban az esetben is ha mind a kezdeti-, mind a célkonfigurációból növesztünk egy-egy fát. A problémát az okozza, hogy az *összekötés fázisa* gyakran nem ad eredményt és így a fák nem nőnek megfelelően. Ennek az az oka, hogy a lokális tervező használatakor, fal vagy egyéb akadályok közelében az első egy helyben

fordulásnál már ütközne a robot. Mivel az összeköttetés fázisa addig tart, amíg nem érjük el  $q_{rand}$ -ot vagy amíg nem ütközik a robot, így a fa további terjesztése nélkül választunk új  $q_{rand}$  értéket. A lokális tervező második lépése eredményezné a fa tényleges terjesztését.

Az RTR algoritmus felhasználva az RRT eljárás előnyös tulajdonságait igyekszik az előbbi problémára egy lehetséges megoldást bemutatni. Mind a kezdeti, mind a célkonfigurációból növeszt egy-egy fát, az összekötő fázisban a fent ismertetett lokális tervezőt alkalmazza. Az RRT eljárás mind a három fázisa módosításra kerül az RTR tervező esetében.

Az RTR algoritmusnál alkalmazott fa struktúrában, az RRT-hez hasonlóan a csomópontokban konfigurációk találhatók, az élek pedig translációs mozgást (TCI - Translation Configuration Interval) vagy egy helyben fordulást írnak le (Rotational Configuration Interval). Egy adott TCI vagy RCI leírható két konfigurációval és TCI esetén a köztük lévő távolsággal, míg RCI esetén a köztük lévő szögtávolsággal. Természetesen RCI esetén a két konfiguráció pozíciója megegyezik, TCI esetén pedig a két konfiguráció iránya egyezik meg. Fontos megjegyezni, hogy mindkét éltípust egzakt módon írjuk le, mintavételezés nélkül.

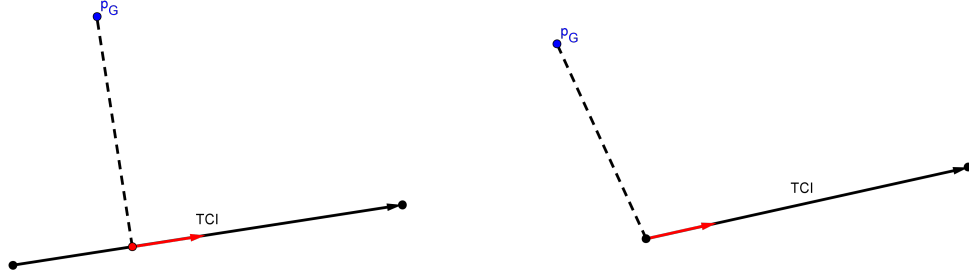
### 2.2.1. Mintavételezés

A mintavételezés fázisában különbséget jelent az eredeti RRT algoritmushoz képest, hogy nálunk a  $q_{rand}$ -nak megfelelő véletlen minta nem egy konfiguráció lesz, hanem egy pozíció a térben ( $p_G$ ). Ezt a pozíciót tekinthetjük egy folytonos, egy dimenziós konfigurációs listának, amelynek bármelyik eleme megfelelő cél konfiguráció lehet.

A mintavételezést kiegészíthetjük a pálya háromszög cellafelbontásából kapott mintákkal. Ezek a minták az akadályoktól távolabb találhatók és szűk folyosók esetén is segítenek terjesztetni a fákat. A celladekompozíciót a következő fejezetben tárgyaljuk.

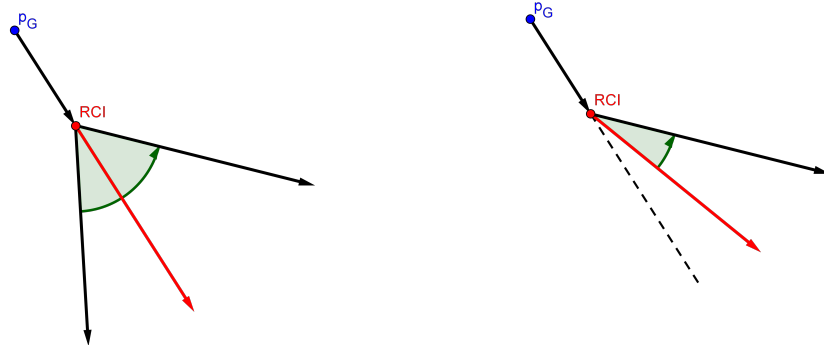
### 2.2.2. Csomópont kiválasztás

Mivel a mintavételezésnél pozíciót használunk nem pedig konfigurációt, így a *csomópont kiválasztás* egyszerűbb lesz. Az eljárás lényege, hogy az adott  $p_G$  esetén végigmegyünk a fa élein és meghatározzuk a legkisebb távolságát a  $p_G$  pont és az adott él között. TCI él esetében ez távolságot jelent, RCI esetében pedig szögtávolságot. Így minden egyes élnél kapunk egy konfigurációt, amely esetében a távolság a  $p_G$ -tól minimális. A kapott konfigurációk közül azt választjuk amelyiknél legkisebb a távolság  $p_G$ -hez képest, ha így több megoldást is kapunk, akkor pedig azt a konfigurációt választjuk, amelynél a szögtávolság a legkisebb. Így egyértelműen meghatároztuk  $q_{near}$ -t.



**2.2. ábra.** Csomópont kiválasztás TCI esetén. A bal oldali ábra esetén köztes konfigurációt kapunk, míg a jobb oldali ábrán nem.

Egy adott TCI és  $p_G$  esetén a legkisebb távolsághoz tartozó konfigurációt a következőképpen határozzuk meg (2.2. ábra). Kiszámoljuk a  $p_G$  pont merőleges vetületét a TCI-t alkotó egyenesre, ezután meghatározzuk, hogy a vetület a TCI-n, mint szakaszon belül található-e. Ha a szakaszon belül található a vetület, akkor egy köztes konfiguráció van legközelebb  $p_G$ -hez. A köztes konfiguráció pozíciója a vetület, orientációja pedig a TCI orientációja. Ha a szakaszon kívül található a vetület, akkor a TCI közelebbi konfigurációja lesz a legkisebb távolságú konfiguráció.



**2.3. ábra.** Csomópont kiválasztás RCI esetén. A bal oldali ábra esetén köztes konfigurációt kapunk, míg a jobb oldali ábrán nem.

RCI esetén a legkisebb (szög)távolságú konfiguráció kiválasztása a 2.3. ábrán látható. Először kiszámoljuk a  $p_G$  pont és az RCI pozíciójának irányát. Ha a kapott irány az RCI (szög)tartományába beleesik, akkor köztes konfigurációról van szó (bal oldali ábra) és ekkor a legközelebbi konfiguráció az RCI pozíciója és az előbb kiszámolt orientáció lesz. Abban az esetben mikor a kapott irány nem esik bele az RCI tartományába, akkor az RCI irányban közelebbi konfigurációt választjuk (jobb oldali ábra).

### 2.2.3. Kiterjesztés

Az RTR algoritmus ezen fázisa különbözik leginkább az eredeti RRT algoritmustól. Különbőség, hogy a translációs szakasz esetében nemcsak előre, hanem hátra is kiterjesztjük a fát. Ezenkívül a kiterjesztés nem  $p_G$ -ig történik, hanem mindenképpen addig amíg nem

ütközik a robot. Ez mindkét irányra érvényes. Fontos megjegyezni, hogy a kiterjesztés során az RTR lokális tervező első két elemét használjuk fel (RT), tehát a második forgatást nem hajtjuk végre.

Lényeges különbség az is, ahogyan a két algoritmus az ütközést kezeli. Az RTR tervező esetén ütközés esetén különbséget kell tenni, hogy translációs vagy forgatási fázisban történt ütközés. Amennyiben translációs fázisban történt ütközés az adott iterációnak vége lesz, hiszen a fát már kiterjesztettük. Ugyanez történne az RTT eljárásnál is.

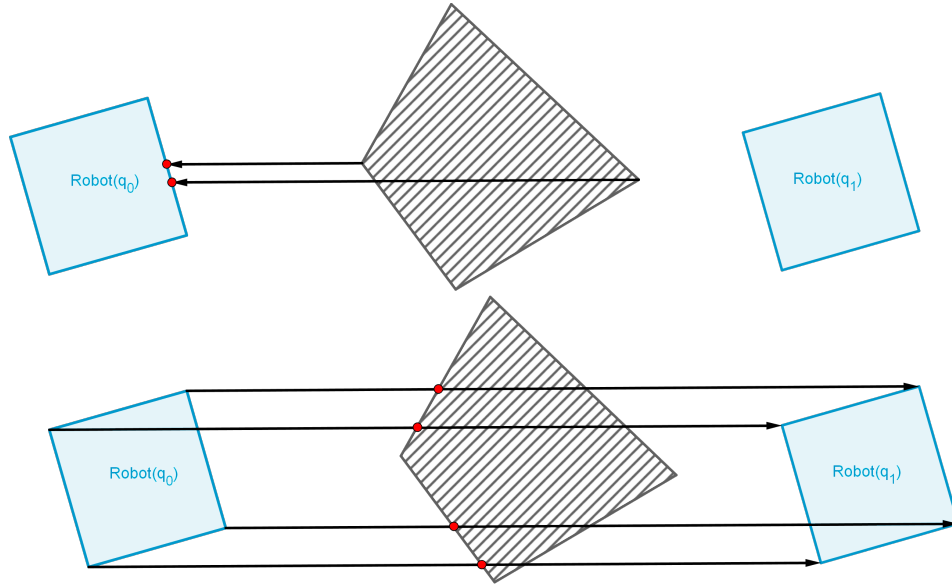
Amennyiben forgatás közben történik ütközés a helyzet bonyolultabb, mivel ilyenkor nem sikerült kiterjeszteni még a fát. Ekkor az ütközési orientáció felénél előre és hátra kiterjesztjük a fát. Ezután a célorientációt megpróbáljuk másik körüljárás szerint elérni. Függetlenül, hogy sikerült-e a második forgatással elérni a célkonfigurációt vagy ütközött a robot, ebben az állapotban megint kiterjesztjük a fát előre és hátra is. Amennyiben ütközés történt megint az ütközési orientáció felénél alkalmazzuk a kiterjesztést, különben pedig a célkonfiguráció irányában terjesztjük ki a fát.

Azért az ütközési orientáció felénél terjesztjük tovább a fát, hogy nagyobb eséllyel sikerüljön minél nagyobb szabad teret bejárnunk a fával. A fa terjesztésnél alapvetően két célunk van, egyrészt, hogy a cél konfiguráció felé haladjunk, másrészt pedig, hogy minél nagyobb szabad területet bejárjunk.

### **Ütközésetektálás translációs kiterjesztés esetén**

A robot translációs kiterjesztése előre- és hátrafelé is a következők szerint történik. Minden egyes akadály esetén, beleértve a pályát határoló téglalapot is végigmegyünk a robot alakját leíró polygon összes csúcspontján. Adott csúcspont esetén megvizsgáljuk, hogy a kiterjesztés irányában metszi-e a vizsgált akadály oldalát és ha igen, eltároljuk az ütközésig megtehető távolságot. Ezután megvizsgáljuk, hogy az adott akadály csúcspontjai a mozgás során metszik-e a robot éleit és szintén eltároljuk az ütközésig lévő távolságot. A minimális távolság pedig a letárolt távolságok minimuma lesz.

A fent leírtaknál minden esetben egy egyenes és egy szakasz metszetét kell kiszámítanunk, majd megvizsgálni, hogy a metszéspont a mozgás irányában található-e. A szakasz a robot vagy az akadály egyik éle, az egyenes pedig az akadály vagy a robot egyik csúcspontja a transláció irányában. A 2.4. ábra mutatja a kiterjesztést egy adott akadály és a robot között.



**2.4. ábra.** Transzlációs kiterjesztés esetében az ütközésvizsgálat.

### Ütközésvizsgálás forgatás esetén

A forgatás közbeni ütközésvizsgálat hasonlóképpen történik, mint transzlációnál. Itt is végigmegyünk az összes akadályon és mindegyiknél megvizsgáljuk a robot összes élét és csúcspontját. Itt is két irányban ellenőrzünk, a robot éleit és az akadály csúcspontjait, valamint az akadály éleit és a robot csúcspontjait vizsgáljuk. A kapott szögelfordulások közül pedig a minimális elfordulás felét használjuk fel később.

Különbséget jelent, hogy itt egy körív és egy szakasz közti metszéspontot kell számolnunk. A szakasz a robot vagy akadály egyik éle. A körívet pedig úgy kapjuk meg, hogy a robot vagy akadály csúcspontját a robot pozíciója körül elforgatjuk az adott forgási szöggel.

#### 2.2.4. Útvonal meghatározása, optimalizálása

Az RTR algoritmus sikeres futásához szükséges, hogy a kezdő és a cél konfigurációból terjesztett fák kapcsolódjanak egymáshoz. Ezért minden iteráció végén ellenőrizzük, hogy a legutóbb felvett TCI-k és a másik fa között létesíthető-e ütközésmentes kapcsolat egy RCI segítségével. Ha ez lehetséges, akkor a metszéspontból vissza kell mennünk a fák kezdőpontjáig és így megkapjuk a keresett útvonalat a kezdő konfigurációból a cél konfigurációig. A kapott útvonalat egy TCI-ket és RCI-ket tartalmazó listaként képzelhetjük el.

Egy TCI és egy fa összekapcsolásának vizsgálata során a fát Breadth-First szélességi keresés segítségével járjuk be [6]. Az algoritmus egy FIFO szerkezetű tárolót használ, amely kezdetben a fa forrásainak gyerekeit tartalmazza. Ezután kivesszük a tárolóból az első elemet és ha az TCI, akkor megvizsgáljuk, hogy összevonható-e a vizsgált TCI-vel. Ha összevonható, akkor befejeztük a vizsgálatot, ha nem akkor pedig a TCI gyerekeit berakjuk a tárolóba. Ha RCI volt a kivett elem, akkor egyszerűen a gyerekeit berakjuk a tárolóba. Az algoritmust addig futtatjuk, amíg a tároló nem ürül ki vagy nem találtunk összevonható TCI-ket. Abban az esetben ha üres lesz a tároló, a vizsgált TCI és a fa nem vonható össze.

Azt megállapítani, hogy két TCI összevonható-e egyszerűen eldönthetjük. Fogjuk a két TCI által leírt szakaszokat és megnézzük, hogy van-e metszéspontjuk. Ha nincsen, akkor biztosak lehetünk benne, hogy nem vonhatóak össze. Ha van metszéspontjuk, meg kell vizsgálnunk, hogy a metszéspontból találunk-e egy RCI-t, amely a két szakasz között ütközésmentes mozgást biztosít. Itt ugyanúgy járhatunk el, ahogy a kiterjesztés fázisában tettük a 2.2.3. részben. Ha nem sikerül ütközésmentes forgatást találnunk, ellentétes körüljárás szerint is megpróbálunk RCI-t keresni, ha így sem találunk akkor a két TCI nem összevonható.

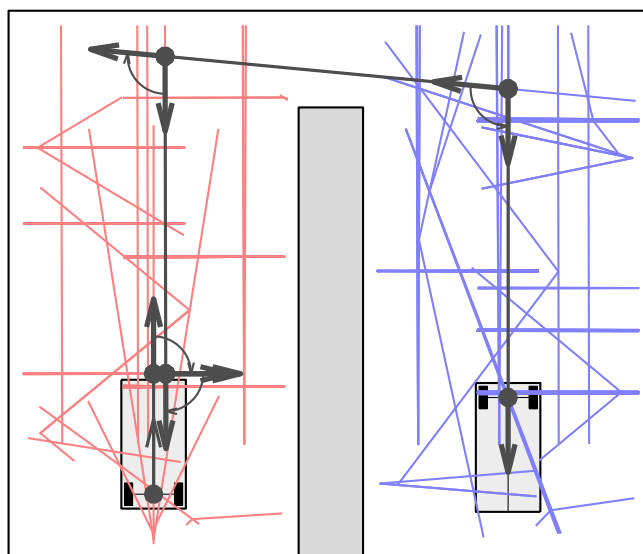
Abban az esetben ha több útvonalat is találnánk a két fa között, akkor azt az útvonalat választjuk amelyik a legkevesebb konfigurációból áll. Ha több ilyen út is van, akkor azok közül a legrövidebb távolságú útvonalat választjuk.

Miután megkaptuk az útvonalat még további optimalizációt végezhetünk el rajta. Az első módszer lényege, hogy az egymás után következő több TCI-t, egy TCI-vel helyettesítjük. Ezt minden esetben megtehetjük, hiszen ha a TCI-k között nincsen RCI, akkor azok a TCI-k iránya nem változik, egy egyenesen helyezkednek el.

A második lehetőség, hogy az összes TCI-t a kapott útvonalban kiterjesztjük, majd az így létrehozott kiterjesztett útvonal segítségével optimalizálunk. Felmerülhet, hogy miért van értelme kiterjeszteni a TCI-okat, hiszen ezeket úgy hoztuk létre, hogy nem  $p_G$  pozícióig történik a terjesztés, hanem amíg a robot nem ütközik. Azonban a *csomópont kiválasztásnál* köztes konfigurációkat is kiválasztunk és így olyan TCI-k jönnek létre, amelyek nincsenek ütközésig terjesztve. Ezután végigmegyünk a kiterjesztett útvonalon és minden TCI esetében a kiterjesztett pálya végéről elindulva olyan TCI-kat keresünk, amelyeket össze lehet vonni. Két TCI-ről a fent ismertetett módon döntjük el, hogy összevonhatók-e. Ezzel a módszerrel a végleges útvonal hossza jelentősen csökkenthető.

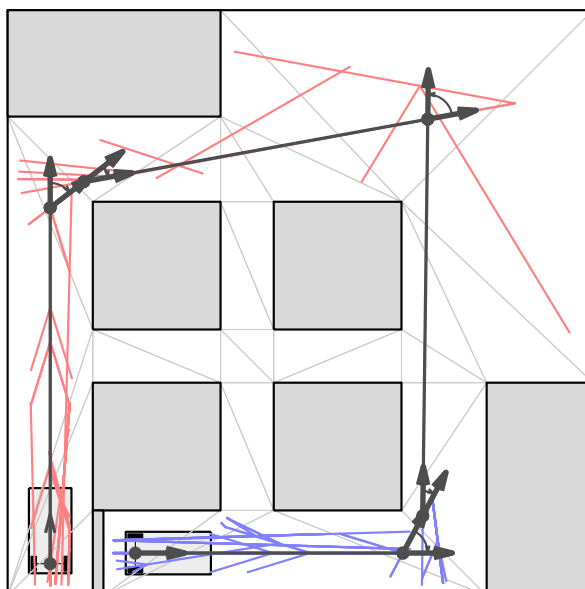
## 2.3. Eredmények

A dolgozatban ismertettük az RTR globális pályatervező algoritmust. A 2.5. ábrán látható az algoritmus által tervezett pálya és a két konfigurációs pontból terjesztett fa is. Szimulációs eredmények alapján belátható, hogy az RTR tervező főleg szűk folyosókat tartalmazó pályák esetében jobb eredményt ad, mint az egyszerű RRT eljárás [2].



**2.5. ábra.** Az RTR algoritmus által megtervezett útvonal egy akadály esetén.

Bonyolultabb környezet esetén felerősödik a véletlen mintavételezés szerepe, az egymás utáni futtatások között nagyobb eltérés mutatkozhat. A 2.6. ábrán látható útvonalat 35 iteráció után találta meg az RTR tervező, de előfordult, hogy egy hasonló úthoz 130 iterációra volt szüksége ugyanennél a pályánál.



**2.6. ábra.** Az RTR algoritmus által megtervezett útvonal bonyolultabb környezet esetén.



Az algoritmus megvalósítását C++ nyelven végeztük el. Az implementáláshoz rendelkezésünkre állt az RTR tervező Matlab környezetben megvalósított programkódja. Az általunk megvalósított natív program legalább két nagyságrenddel gyorsabb futási idővel rendelkezik a Matlab kódhoz képest. Ez elsősorban az interpretált Matlab script és a natív C++ kód közti különbséget mutatja.

Az implementálás során ahol úgy ítéltük meg módosítottunk az eredeti algoritmuson a rövidebb futási idő érdekében. Ezek habár csak apróbb változásokat jelentettek, de mivel az érintett programrészek egy iterációban akár többször is lefutnak, így egy bonyolultabb pályán, ahol akár több száz iteráció szükséges jelentős lehet a javulás. Ilyen apróbb módosítást tettünk a különböző geometriai elemek közötti metszetéspont számításánál és az iterációk végén található eljárásban, amely a két fát próbálja összekötni.

Azért is választottuk a C++ nyelvet az implementáláshoz, hogy a valós roboton, beágyazott rendszerben is könnyedén használható legyen. A beágyazott környezet miatt igyekeztünk kerülni bármiféle olyan külső szoftvercsomag használatát, aminek a használata problémás lehet a valós roboton. A szimuláció eredményeire és a valós roboton végzet tesztelésre a dolgozatban még visszatérünk.

## 3. fejezet

# A $C^*CS$ , $c\bar{c}S$ algoritmus

A  $C^*CS$  és a  $c\bar{c}S$  algoritmus is Kiss Domonkos munkája. Az algoritmusok elsődlegesen autószerű robotok számára terveznek pályát, de az így tervezett pálya egy differenciális robot számára is végrehajtható. A mi feladatunk az algoritmus implementálása volt C++ nyelven, majd annak tesztelése szimulációs, illetve valós környezetben. A fejezetet az algoritmus ismertetésével kezdjük, majd kitérünk az implementációs problémákra, és az elért eredményekre is.

### 3.1. Reeds-Shepp lokális pályák

Anholonóm rendszerek irányítása akadályoktól mentes környezetben is egy igen bonyolult feladat, sok esetben nem adható meg általános algoritmus, csak néhány speciális rendszer esetén. Szerencsére ilyen rendszerek közé tartoznak a differenciális robotok, az autószerű robotok melyek csak előre mozoghatnak (Dubins autó) és azok melyek előre és hátra is mozogni képesek.

Az utóbbi típusú robotokat hívjuk Reeds-Shepp autóknak, melyeknél bizonyított, hogy bármely kezdő- és célkonfiguráció közt, a legrövidebb utat megtalálhatjuk 48 lehetséges megoldás közül, ahol ezek a megoldások maximum öt egyenes vagy kör kombinációjából állnak, és ezek a pályák maximum két csúcspontból állnak, azaz ennyiszor kell irányt változtatni a végrehajtás közben. A megoldások száma egyéb megkötések árán tovább csökkenthető.

Mint látható akadályoktól mentes környezetben találhatunk optimális útvonalat, de ennek hátránya, hogy mindig minimális sugarú pályákat feltételez, mely egy valós esetben nem életszerű, illetve a pályák lehetnek igen bonyolultak is. De ha elvetjük az optimalitás igényét, amit egyébként is meg kell tennünk, ha egy globális tervező részeként alkalmazzuk a módszert, akkor a lehetséges megoldásokon jelentős mértékben egyszerűsíthetünk.

### 3.2. $C^*CS$ lokális pályák

A lokális tervezők bármely kezdő- és célkonfiguráció páros esetén megoldást kell nyújtásnak, de megfelelő koordináta-rendszer választásával egyszerűsíthetünk a számításokon. Tegyük fel hogy egy ilyen választás mellett adódott  $q_I = (x_I, y_I, \theta_I)$  kezdő és  $q_G = (0, 0, 0)$

célkonfiguráció. Ha eltekintünk a sugár korlátozásától, és feltesszük, hogy  $\theta_I \neq 0$ , akkor könnyen belátható, hogy egy kör és egy egyenes segítségével elérhető a célkonfiguráció. Először egy érintő körön elfordulunk a  $\tilde{q}_G = (\tilde{x}_G, 0, 0)$  köztes célkonfigurációba, majd egy egyenes mentén végig haladunk a célig. Az ehhez tartozó kör sugarát a következő egyenlet segítségével számíthatjuk:

$$\rho_{I,\tilde{G}} = \frac{y_I}{1 - \cos \theta_I} \quad (3.1)$$

Ha a kiadódó sugár kisebb mint a minimálisan megengedett ( $|\rho_{I,\tilde{G}}| < \rho_{min}$ ), vagy igaz, hogy  $\theta_I = 0$ , akkor egy egyenes, vagy egy kör segítségével egy köztes kezdőkonfigurációba ( $\tilde{q}_I = (\tilde{x}_I, \tilde{y}_I, \tilde{\theta}_I)$ ) kell eljutnunk, ahol biztosított, hogy  $\tilde{\theta}_I \neq 0$  és, hogy  $\rho_{I,\tilde{G}} \geq \rho_{min}$ . Megjegyzendő, hogy az első szakasz nem lehet egyenes, ha  $\theta_I = 0$ ,  $\theta_I = \pi$  vagy  $|y_I| < 2\rho_{min}$ . Bizonyított, hogy  $\tilde{q}_I$  megválasztása végtelen sokféleképpen lehetséges [?].

Hogy egyszerűsítsük a szakaszok jelölését, a továbbiakban az egyes szakaszokra  $S$  és  $C$  betűk segítségével hivatkozunk. Az előzőek alapján, egy konfiguráció párba  $SCS$ , vagy  $CCS$  segítségével eljuthatunk. Könnyen belátható, hogy ha egy  $C$  esetén a sugárral a végtelenbe tartunk, akkor a kiválasztott szakaszunk az egyeneshez tart. Az ilyen speciális köríveket megjelölhetjük egy csillaggal. Innen a módszer neve a  $C^*CS$ .

### 3.3. $C^*CS$ approximációs módszer

Az általunk használt algoritmus egy approximációs módszert alkot, mely egy előzetes globális pályát rekurzív módon felbont kisebb szakaszokra, majd ezekre próbál illeszteni a fentebb bemutatott  $C^*CS$  pályát.<sup>1</sup> A végeredményül elkészült, az algoritmus által visszaadott pálya autószerű robotok számára könnyedén lekövethető, mivel elsődlegesen ezek számára lett kialakítva. Ennek ellenére a megoldást természetesen egy differenciális robot is képes lekövetni, mivel az nem rendelkezik korlátozással a forduló kör sugarára.

#### 3.3.1. Globális tervező

Az előzetes pálya bármilyen globális tervező eredménye lehet. Elsődleges célja egy mankó nyújtása a későbbi tervező számára, a végső megoldásnak nem feltétele, hogy az előzetes pálya akár egyetlen pontját is tartalmazza. Egy lehetséges megoldás az előző fejezetben bemutatott RTR algoritmus használata. Ez az módszer is alkalmas a feladatra, de más módszerek hasznosabbak lehetnek számunkra.

Például ilyen globális tervező megoldás a celladekompozíció alapuló algoritmus. Ez a környezetet háromszögekre bontja, majd ezeknek a háromszögeknek az oldalfelező pontjait összeköti a szomszédos háromszögekkel. Az így kialakult gráfba beszúrja a kezdő és célkonfigurációt, majd hozzáveszi az őket körbevevő háromszög oldalfelező pontjait. Az éleket a pontok egymástól való távolságával súlyozzuk, majd ebben a gráfban keresünk egy legrövidebb utat. Ennek a megoldásnak kifejezett előnye, hogy a szabad terület közepén

<sup>1</sup>Bár a lokális tervező algoritmus neve a  $C^*CS$ , de a végeredményben kialakult pálya összességében is körök és egyenesek kombinációjából áll, így ez a név ráragadt az approximációs módszerre is. A későbbiekben, ahol ez félreértésre adhat okot, ott ezt külön tisztázzuk.

alkot pályát, így ha az autó ezt a pályát követi, akkor bármilyen irányú manőverezésre lesz lehetősége. További előnye hogy ez egy kombinatorikus eljárás, így véges időn belül képes megmondani, hogy létezik-e megoldás. Az eljárás egyik fő hibája, hogy a háromszögelés miatt, csak sokszögekkel leírható akadályokkal képes dolgozni, és még ebben a formájában nem veszi figyelembe az autó kiterjedését. Ezen könnyen lehet segíteni, ha figyelembe vesszük az oldalfelező pontok közötti szakaszok távolságát az akadályoktól, és ha a pályasík az akadálytól túl közel van egymáshoz, akkor töröljük az élt a gráfból.

### 3.3.2. Lokális tervező

Ha a globális tervező tudott visszaadni megoldást, az algoritmus tovább folytatódik a következőképpen: Az előzetes pálya két konfigurációját választjuk ki, és a fentebb említett pályákat keresünk köztük. Az eljárás először a pálya két végpontja közt keres megoldást, ami egyszerű esetekben akár rögtön megoldásra is vezethet, felgyorsítva az algoritmus működését. Ha ez a keresés nem járt sikerrel, akkor az előzetes pályát megfigyeli az algoritmus és az első konfiguráció és az új célkonfiguráció közt keres megoldást. Ezt egészen addig ismétli, míg van köztes konfigurációs pont, ha elfogyott, további pontokat illeszt a pályába.

Az előzőekben említettük, hogy a C\*CS végtelen sok megoldást nyújt. Lokális esetben ez nem előnyös tulajdonság, de akadályok jelenlétében már előnyként tekinthetünk rá, mivel így sokkal nagyobb valószínűséggel találhatunk végrehajtható pályát.. Természetesen az összes megoldást így nincs lehetőségünk kipróbálni, így valamilyen mintavételező eljárással kell megoldanunk ezt a problémát.

### 3.3.3. ARM

Az előzőekben beláttuk, hogy a  $\tilde{q}_I$  kiválasztásának szabadsága okozza a végtelen sok megoldást. Erre egy példa látható a ?? ábrán. Ezért algoritmus a folytatásban összegyűjti azokat a konfigurációkat, melyeket a  $q_I$  konfigurációból ütközés nélkül elérhetünk. Az ilyen konfigurációkat hívjuk az angol megfelelő rövidítése alapján ARM-nak (Arc Reachable Manifold).

A keresést úgy tesszük meg, hogy a környezetet felosztjuk egységnyi távolságokra, mivel így véges sok lehetőséget kapunk. A kiszámítás ideje természetesen függ a választott távolság egységtől, és a környezet méretétől, ami így akár igen hosszú is nyúlhat. Az eredmények azt mutatják, hogy a teljes algoritmus futásának ez a leghosszabb része, ami nem meglepő, mivel a körívek kiszámítása komplex művelet, és ezt egy adott pont esetén a robot testének minden csúcsára ki kell számoljuk, hogy ütközést tudjunk detektálni. A művelet hatékonyságán több módon lehet javítani Például nagyobb távolságegység megválasztásával, vagy ha előre elkészítünk egy foglaltsági mátrixot, ami megmondja az adott pont akadályon belül van-e, így az ilyen pontokra nem kell a számítást elvégezni. Mivel az ARM egy adott kezdő-konfigurációhoz tartozik, további javítási lehetőség, ha az approximációs lépésben inkább a célkonfiguráció pontját mozgathatjuk, így nem kell újra és újra kiszámolni a köríven elérhető sokaságot.

### 3.3.4. CS

Az algoritmus további részében az ARM-nál kiszámolt elérhető köztes konfigurációk és a célkonfiguráció közt kell meghatározni a lehetséges útvonalakat. Mivel a pálya minden esetben egy egyenes szakasszal végződik, így a célunk olyan további körök keresése, melyek érintik a köztes konfiguráció és a célkonfiguráció által meghatározott egyeneseket. Ilyen körökből egy köztes konfigurációhoz két megoldás is található, mindkét eset megfelelő megoldást nyújthat számunkra. Azonban figyelembe kell veyük, hogy a két különböző körív mentén való haladás a végeredményben  $180^\circ$ -os orientáció különbséget okoz. Ha a globális pályán egy köztes szakasz számításánál járunk, akkor nem jelent problémát, de az utolsó szakasz esetén el kell vessük az ellenkező irányú megoldást, mivel itt már nincs lehetőség megfordulásra.

Ha ezzel megvagyunk nem elegendő a körívek végrehajthatóságát ellenőriznünk. Ugyan a globális pálya tervezésekor ellenőriztük az egyenes szakaszok akadályoktól való távolságát, így a végrehajthatóságát is, de az érintő körök keresésekor nem volt feltétel, hogy az érintési pontok ezeken a szakaszokon belül helyezkedjenek el. Ezért ellenőriznünk kell az utolsó, egyenes végrehajthatóságát is.

Végül az így keletkező végrehajtható pályák sokasága közül ki kell választanunk egyet. Ezt többféleképpen megtehetjük, talán a legkézenfekvőbb a legrövidebb megoldás kikeresése, és beillesztése az előzetes pályába. Itt érdemes megemlíteni, hogy a végeredmény akkor fog igazán hasonlítani egy igazi vezető által végrehajtott pályára, ha lecsökkentjük a tolatások számát, mivel az emberek nagy többsége nem szeret tolatva közlekedni. Hogy ezt megteheszük, az algoritmus opcionálisan elfogad egy súlytényezőt, mellyel a tolató szakaszok "hosszát" tudjuk megnövelni.

### 3.4. $c\bar{c}S$

Ha az előzőekben látottak nem vezetnek megoldásra, tehát nincs olyan  $C^*CS$  pálya, mely végrehajtható lenne, akkor egy kisebb szakaszt kell választanunk a globális pályából. Ezt viszont nem tehetjük meg végtelenségig. Az egyik ok, például az, hogy a globális pálya szakaszok nem bonthatók több részre, mert ha ki is választunk egy pontot a szakasz közepéről, akkor is ugyan arra az egyenesre próbálnánk meg érintő köröket találni. Persze kereshetünk különböző megoldásokat az újabb konfigurációk kiválasztására, de ezek a megoldások önmagukban nem elegendőek. Valahogy biztosítanunk kell azt, hogy az algoritmusunk konvergáljon a megoldás felé, amihez olyan lokális tervezőre van szükségünk, mely teljesíti a topológiai feltételt. Ha ezt biztosítani tudjuk, akkor az algoritmusunk teljes lesz. A teljesség itt azt jelenti, hogy az algoritmus minden olyan esetben megoldással tér vissza, mikor a probléma megoldható.

Olyan esetekben, mikor a globális pályát tovább kellene bontanunk, átváltunk a  $c\bar{c}S$  algoritmusra, mely a topológiai feltételt teljesíti [?]. Ez az algoritmus a  $C^*CS$  algoritmus egy módosított változata, mely csak egy megoldást ad egy konfiguráció párra. Az eljárás lényege, hogy az első két kör sugara megegyező, de ellentétes előjelű, tehát a másik irányba kell forgassuk a kormányt a váltáskor. A komplementer jelölés jelzi az előjel változását.

Ahogy a ?? látható, ha  $q_I$  túl közel van a  $q_G$  egyeneséhez, akkor a körök egymás mellett elcsúsznak, és két megoldást is adnak.

Bár a  $c\bar{c}S$  egy megoldást ad, a végrehajtásakor több lehetséges megoldást is "eldob". A módszer implementációját úgy készítettük el, hogy minden ilyen megoldást ellenőrizzen, ha esetleg a legrövidebb nem lenne végrehajtható. Jogosan felmerülhet a kérdés, hogy ha ez az algoritmus bármilyen konfigurációs párra nyújt megoldást, akkor miért nem ezt használjuk a  $C^*CS$  helyett? A  $c\bar{c}S$  csak egy lokális tervező, így nem veszi figyelembe az akadályokat, hibába teljesíti a topológiai feltételt, ez csak annyit jelent, hogy ha közelítjük a konfigurációkat egymáshoz, a visszaadott megoldás hossza is csökken. A másik indokunk, hogy az eljárás minden esetben két azonos sugarú körrel tér vissza. Ez a valóságot se közelíti jól, hiszen nincs olyan sofőr aki így vezetne minden esetben.

### 3.5. Eredmények

A tervező algoritmus futása közben nagy mennyiségű lebegőpontos számítást végez, de ezen felül viszonylag nagy memóriaigényű is, és sok iterációs szakasza van. Az algoritmus egy implementált változata rendelkezésre állt **MatLAB script** formátumban, de ez elsődlegesen demonstrációs célt szolgált. Ettől a nyelvtől azt várnánk, hogy a lebegőpontos számításokat gyorsan képes elvégezni, de a feladatot rendkívül lassan hajtotta végre. Ennek elsődleges oka valószínűleg a sok iteráció. Az ilyen algoritmusokra nem ez a legalkalmasabb nyelv, ezért is merült fel elsődlegesen egy gépközi nyelv használata. A legnagyobb tapasztalatunk a C++ nyelvvel kapcsolatban volt, és grafikus számítások során is ezt a nyelvet szokták használni a hatékonysága miatt. Ezek mellett további fontos érv volt, hogy az algoritmust egy működő mobil roboton is ki tudjuk próbálni, ott is ésszerű időn belül megoldást adjon.

A fejlesztés során igen fontos volt az objektum-orientált szemléletmód, mivel így biztosítható a legjobban a modularitás, és a későbbi egyszerű fejlesztés, módosítás. Az implementálás során egyéb előnyös tulajdonságát is ki tudtuk használni, ezek közül a legjelentősebb az újrafelhasználhatóság volt. Az implementálás előrehaladtával a fejlesztés sebessége is nőtt, mivel az előzőleg elkészített kódrészleteket egyszerűen újra tudtuk használni.

Pontos méréseket nem végeztünk se a MatLAB implementációval kapcsolatban, se a későbbiekben elkészült C++ kóddal se, de ezek összehasonlíthatósága egyébként is igen kérdéses, mivel különböző pályák esetén különböző részek futása válik szűk keresztmetszetté, és a két programnyelv más-más esetben lehet hatékony. Viszont végeredményben nagyságrendileg százszoros gyorsulást sikerült elérnünk, és a legbonyolultabb környezetben is egy másodpercen belül sikerült megoldást találnia az algoritmusnak<sup>2</sup>, így valószínű egy kisebb teljesítményű beágyazott számítógépen is elfogadható időn belül végez.

A fejlesztés során odafigyeltünk, hogy hol lehetne gyorsítani, módosítani a működésen. Ahol ez egyszerűen megvalósítható volt, ott ezeket el is végeztük, de maradtak további fejlesztési lehetőségek is a programban. A leggyakoribb esetben az ARM számítása veszi el a pályatervezés során a legtöbb időt. Mivel az algoritmus az egész területet mintavételezi és kiszámítja minden pontra az oda tartó körívet ez egy igen időigényes részfeladat. Könnyen

---

<sup>2</sup>Intel Core 2 Duo E8400 @ 3.0Ghz, 4Gb RAM

belátható, hogy egy olyan pálya esetén, ahol például egy szűk folyosón kell áthaladni, ott az akadályok túloldala nem elérhető ütközés nélkül. Jó ötlet lenne csak azt az oldalt figyelembe venni, ahol a robot van, de annak meghatározás, hogy hol a határ, amit már nem kell ellenőrizni, nem egy egzakt feladat.

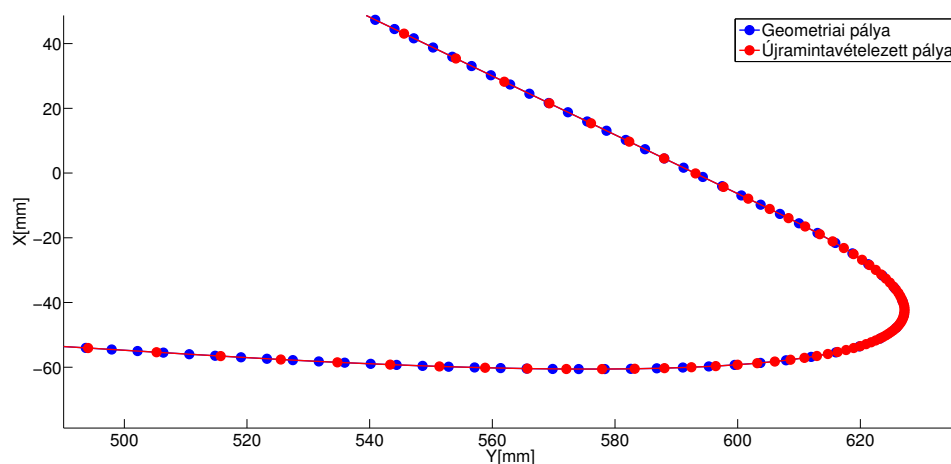
A globális tervező által tervezett pálya, csak segítséget nyújt a lokális tervező számára, így annak alakja nagyon kis mértékben van hatással a végleges pályára. Néhány speciális esetben mégis látható ez a különbség, mint például a ?? ábrán is megfigyelhető különbséget eredményez a háromszögelő algoritmus módosítása.

## 4. fejezet

# Pálya időparaméterezése

A pályatervező által elkészített ütközésmentes pálya nem tartalmaz semmilyen idővel kapcsolatos információt. Ebben a fejezetben a pálya pontjaihoz sebesség értékeket rendelünk hozzá. Ezt a többlet információt a pályakövető algoritmus használja fel, hogy mozgás során a robot kinematikai korlátai ne okozzanak problémát. Tehát az időparaméterezés elsősorban a robot korlátaival használja fel, de arra is alkalmas, hogy meghatározzuk a pálya bejárásának idejét.

Az időparaméterezés két fő lépésből áll. Elsőként a kapott geometriai pályához sebesség értékeket rendelünk hozzá, majd ezután újramintavételezzük a pályát. Az újramintavételezés után a pálya időben egyenletes lesz, tehát az egymást követő pálya pontok között azonos idő telik el. A mintavételezés idejét a pályakövető algoritmus mintavételi ideje határozza meg. A geometriai pályát általában távolságban egyenletesen mintavételezzük, de ez nem szükséges az időparaméterezéshez.



4.1. ábra. A pálya időparaméterezése.

Az irodalomban nem sok időparaméterezéssel kapcsolatos munka található. Egy hasonló megközelítést Christoph Sprunk munkájában találhatunk [5]. A legfontosabb eltérés, hogy Sprunk külön korlátozza a robot tangenciális és centripetális gyorsulását, míg mi a robot kerekeinek eredő gyorsulását korlátozzuk. Ez a megoldás a valóságot jobban közelíti, hiszen



attól, hogy a gyorsulás két komponense a korlátok alatt marad, nem biztos, hogy az eredő gyorsulás sem haladja a korlátot meg.

Az időparaméterezés során nem használjuk ki a pályatervező által tervezett pálya tulajdonságait, a célunk egy olyan algoritmus készítése, amely tetszőleges geometriai pályából képes sebesség információval ellátott, időben egyenletes mintavételű pályát készíteni. Emiatt nem építhetünk a pályatervező által használt geometriai elemekre (körív, egyenes) és ezek speciális tulajdonságaira.

Az egyik legalapvetőbb tulajdonságuk az lenne, hogy a görbületüket analitikusan ki tudnánk számolni (a konkrét elemeknek ráadásul triviális). Általános esetben azonban nem tudjuk a pálya görbületét analitikusan kiszámolni, így görbület becslést kell alkalmaznunk. Az irodalomban sok cikket találhatunk görbület becslésről, főleg képfeldolgozással kapcsolatos témákban, a mi dolgozatunknak azonban nem ez a témája. Az algoritmus fejlesztésekor több becslőt is kipróbáltunk, ezeket úgy teszteltük, hogy olyan pályát adtunk meg nekik, amelynek a görbülete analitikusan is számolható, így össze tudtuk hasonlítani az ideális megoldással a becslést. Ez alapján választottunk egy eljárást [3]. Természetesen abban az esetben, ha a pályatervező rendelkezik már a pálya görbületével, az időparaméterező algoritmus azt fogja használni a becslés helyett.

#### 4.1. Jelölések

Ebben a fejezetben a 4.1. táblázatban megadott jelöléseket fogjuk használni. Azokban az esetekben, ahol fontos megkülönböztetni a geometriai pályát és az (újra)mintavételezett pályát, ott a felső indexben található  $\mathbf{g}$  betű a geometriai pályát jelöli, az  $\mathbf{s}$  betű pedig a mintavételezett pályát. A pálya pontjait 1-től számozzuk.

$$\begin{aligned}
 \Delta t(k) &: \text{A } k \text{ és a } k+1 \text{ pontok között eltelt idő} \\
 t(k) &: \text{A } k. \text{ pontban az addig eltelt idő} \\
 \Delta s(k) &: \text{A } k \text{ és a } k+1 \text{ pontok között megtett távolságot} \\
 s(k) &: \text{A } k. \text{ pontban az addig megtett távolság} \\
 v(k) &: \text{A } k. \text{ pontban a robot sebességének nagysága} \\
 \omega(k) &: \text{A } k. \text{ pontban a robot szögsebességének nagysága} \\
 a_t(k) &: \text{A } k. \text{ pontban a robot tangenciális gyorsulásának nagysága} \\
 c(k) &: \text{A } k. \text{ pontban a görbület nagysága} \\
 N &: \text{A pálya pontjainak száma}
 \end{aligned} \tag{4.1}$$

Azokban az esetekben, amikor a robot kerekére vonatkozó mennyiségekről beszélünk, külön jelöljük, hogy bal ( $l$ ) vagy jobb ( $r$ ) kerékről van szó. Ezenkívül a kerekeknél megkülönböztetjük, hogy tangenciális ( $a_t$ ), centripetális ( $a_c$ ) vagy eredő ( $a_e$ ) gyorsulásról beszélünk.

Fontos megjegyezni, hogy a  $\Delta s(k)$  távolságot úgy kell értelmezni, hogy a  $k$ . és  $k+1$ . pont

között egy körív található és az ezen mért távolság lesz  $\Delta s(k)$ . A körívet a  $c(k)$  görbület határozza meg. Ha nem köríveket használnánk, hanem egyenessel kötnénk össze a pálya pontokat, akkor a görbületnek szükségszerűen 0-nak kellene lennie.

## 4.2. Differenciális robotmodell

Ebben a részben az időparaméterezést differenciális robotmodellhez készítjük el. A differenciális meghajtása a következő két kinematikai egyenlettel írható le [1]:

$$\begin{aligned} v(k) &= \frac{v_r(k) + v_l(k)}{2} \\ \omega(k) &= \frac{v_r(k) - v_l(k)}{W}, \end{aligned} \tag{4.2}$$

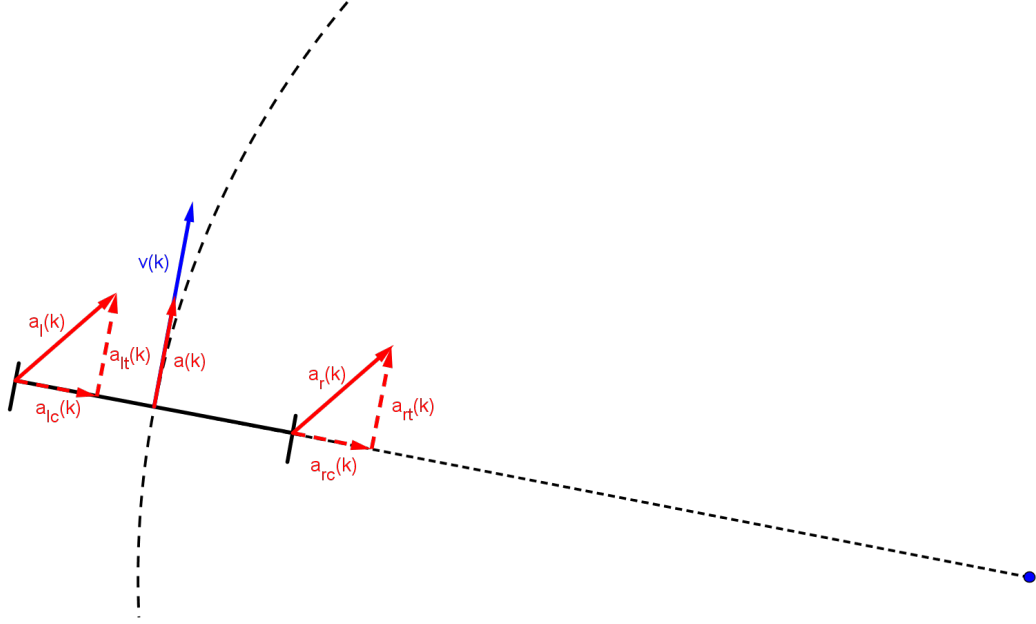
ahol  $W$  a robot kerekei közti távolság.

A 4.2. egyenletet átírhatjuk úgy, hogy a kerekek sebességeit fejezzük ki akár a szögsebesség, akár a pálya adott görbülete alapján:

$$\begin{aligned} v_l(k) &= v(k) - \frac{W \cdot \omega(k)}{2} = v(k) \cdot p_l(k) \\ v_r(k) &= v(k) + \frac{W \cdot \omega(k)}{2} = v(k) \cdot p_r(k) \\ p_l(k) &= 1 - \frac{W \cdot c(k)}{2} \\ p_r(k) &= 1 + \frac{W \cdot c(k)}{2}, \end{aligned} \tag{4.3}$$

ahol felhasználtuk, hogy  $v(k) \cdot c(k) = \omega(k)$ .

### 4.2.1. Korlátozások



**4.2. ábra.** Differenciális hajtású robot mozgása köríven.

A robot mozgását általános esetben a 4.2. ábra mutatja be. Az időparaméterezés során figyelembe vesszük a robot pályamenti sebességét és szögsebességét és a robot kerekeinek tangenciális és eredő gyorsulását. Adott robot esetében ezekre a mennyiségekre határozzunk meg korlátozásokat:

$$v^{max} : \text{A robot pályamenti sebesség korlátja} \quad (4.4)$$

$$\omega^{max} : \text{A robot szögsebesség korlátja}$$

$$a_{lt}^{max} : \text{A robot bal kerekének tangenciális gyorsulás korlátja}$$

$$a_{rt}^{max} : \text{A robot jobb kerekének tangenciális gyorsulás korlátja}$$

$$a_l^{max} : \text{A robot bal kerekének eredő gyorsulás korlátja}$$

$$a_r^{max} : \text{A robot jobb kerekének eredő gyorsulás korlátja}$$

Mivel a robot kerekeinek tangenciális gyorsulásából már adódik a robot tangenciális gyorsulása is, így a robot gyorsulását nem szükséges külön korlátozni.

$$a_t^{max} = \frac{a_{lt}^{max} + a_{rt}^{max}}{2} \quad (4.5)$$

Ugyanez a helyzet a kerekek sebesség korlátjával, ami meghatározható a robot sebesség és szögsebesség korlátaiból.

$$v_l^{max} = v^{max} - \frac{W \cdot \omega^{max}}{2} \quad (4.6)$$

$$v_r^{max} = v^{max} + \frac{W \cdot \omega^{max}}{2} \quad (4.7)$$

A kerekek maximális eredő gyorsulását a maximális tapadási súrlódási együttható ( $\mu_{tap_{max}}$ ) határozza meg, amelynél a robot kerekei még nem csúsznak meg. A maximális gyorsulás és a tapadási együttható között a következő egyszerű összefüggés áll fent:

$$a_{max} = \mu_{tap_{max}} \cdot g, \quad (4.8)$$

ahol  $g$  a nehézségi gyorsulás

Írjuk fel a 4.2. ábra alapján a robot kerekeire ható erőket:

$$\sum F(k) = m \cdot a(k) = m \cdot \sqrt{a_c(k)^2 + a_t(k)^2} \leq m \cdot g \cdot \mu_{tap_{max}}, \quad (4.9)$$

ahol  $m$  a robot kerekének tömege,  $F(k)$  a robot kerekeire ható eredő erő a pálya  $k$ -adik pontjában,  $a_c(k)$  a kerék centripetális gyorsulása,  $a_t(k)$  a kerék tangenciális gyorsulása

A 4.9. egyenletben azzal a feltevéssel élünk, hogy a robot kerekei és a talaj között a tapadási súrlódási együttható állandó és nem függ az erő irányától. Az általunk használt differenciális robotnál ez a közelítés megengedhető, mivel a gumikerekek homogénnek tekinthetők. Ha barázdákat tartalmaznának, akkor már nagyobb eltérést okozna ez a közelítés.

Fontos megjegyezni, hogy a kerék gyorsulás korlátokat lassulásnál is alkalmazzuk. Tehát a kerék gyorsulásának abszolút értékét korlátozzák ezek a korlátozások. Így azt tesszük fel, hogy a kerekek viselkedése gyorsulás és lassulás esetében megegyezik. A robot sebességénél viszont nem engedünk negatív értékeket, a robot végig előre haladhat. A tervező viszont megadhat olyan pályát ahol tolatnia kell a robotnak, vagy egy helyben megfordulnia, de ezt a pályatervező algoritmus kezeli.

#### 4.2.2. Geometriai sebességprofil

Első lépésként a geometriai pályapontokhoz rendelünk a korlátoknak megfelelő sebességeket és a későbbiekben ezt a sebességprofilt használjuk fel a pálya újramintavételezésekor.

A pályamenti sebességeket úgy határozzuk meg, hogy a robot gyorsulása a lehető legnagyobb legyen. A 4.5. egyenlet alapján ezt megtehetjük úgy, hogy a robot kerekeinek tangenciális gyorsulását maximalizáljuk. Több hatás miatt nem tudjuk a kerekek gyorsulását folyamatosan növelni.

Egyrészt a robot sebesség és szögsebesség korlátját nem sérthetjük meg. Ebből a két korlátból a pálya minden pontjára kiszámolhatunk egy maximális sebességet függetlenül az előző pályapont sebességétől:

$$v^{max}(k) = \min \left( v^{max}, \frac{\omega^{max}}{c(k)} \right) \quad (4.10)$$

Valamint a kerekek centripetális gyorsulása nem haladhatja meg az előírt eredő gyorsulás korlátot, különben a robot kereke megcsúszna. A pálya adott  $k$ . pontjában a kerekek centripetális gyorsulást a következőképpen számolhatjuk ki:

$$a_{lc}(k) = (v(k) \cdot p_l(k))^2 \cdot c(k) \quad (4.11)$$

$$a_{rc}(k) = (v(k) \cdot p_r(k))^2 \cdot c(k)$$

Fontos megjegyezni, hogy mivel mi a robot gyorsulását határozzuk meg a  $k$ . pontban, így a  $v(k)$  már rendelkezésünkre áll a  $k - 1$ . pontban számított gyorsulásból.

Amennyiben a kiszámolt centripetális gyorsulások már önmagukban is meghaladják az előírt eredő gyorsulás korlátot, úgy  $v(k)$  értékét addig kell csökkenteni, hogy a centripetális gyorsulás az eredő gyorsulás korlátot már ne haladja meg.

Ezután a kerekek tangenciális gyorsulását a 4.12. egyenlet alapján határozhatjuk meg.

$$a_{lt}(k) = \min \left( \sqrt{a_l^{max}{}^2 - a_{lc}(k)^2}, a_{lt}^{max} \right) \quad (4.12)$$

$$a_{rt}(k) = \min \left( \sqrt{a_r^{max}{}^2 - a_{rc}(k)^2}, a_{rt}^{max} \right) \quad (4.13)$$

Eddig a két kerék gyorsulást teljesen függetlenül tárgyaltuk, azonban mindkét gyorsulást nem választhatjuk meg szabadon, mert a pálya görbülete meghatározza a köztük lévő arányt. Ezt a következőképpen láthatjuk be (a 4.3 alapján könnyedén belátható, hogy sebességek aránya is ugyanez lesz):

$$a_{lt}(k) = \beta(k) \cdot \left( r(k) - \frac{W}{2} \right) \quad (4.14)$$

$$a_{rt}(k) = \beta(k) \cdot \left( r(k) + \frac{W}{2} \right) \quad (4.15)$$

$$\frac{a_{lt}(k)}{a_{rt}(k)} = \frac{r(k) - \frac{W}{2}}{r(k) + \frac{W}{2}} = \frac{p_l(k)}{p_r(k)}, \quad (4.16)$$

ahol  $\beta(k)$  a robot szöggyorsulása,  $r(k)$  a pálya görbületi sugara a robot középpontjához viszonyítva.

A 4.16. és a 4.12. egyenletek alapján 2-2 lehetséges kerék gyorsulást tudunk számolni. Ezek közül azt a gyorsulás párt fogjuk választani, amelyiknek egyik eleme sem sérti a 4.12. egyenletek által meghatározott korlátokat.

Miután kiszámoltuk, hogy az adott pályapontnál mekkora legyen a robot kerekeinek tangenciális gyorsulása már könnyedén számolható a a robot gyorsulása és sebessége:

$$a_t(k) = \frac{a_{lt}(k) + a_{rt}(k)}{2} \quad (4.17)$$

$$v(k+1) = \min \left( v^{max}(k+1), \sqrt{v(k) + 2 \cdot a_t(k) \cdot \Delta s_c(k)} \right) \quad (4.18)$$

### Profil visszaterjesztés

Két esetben előfordulhat, hogy az előző pálya ponthoz meghatározott sebesség értéket módosítani kell. Egyrészt ha a centripetális gyorsulás önmagában meghaladja a megengedhető maximális gyorsulást, akkor az előző pálya ponthoz tartozó sebességet mindenképp csökkenteni kell. Másrészt a 4.18. egyenlet esetében előfordulhat, hogy a robot gyorsulás korlátját megsértjük és így módosítani kell az előző ponthoz tartozó sebességet. Ez például a pálya végpontjában fordulhat elő, ahol előírjuk, hogy a robot álljon meg, tehát  $v^{max}(N) = 0$ . Ha nem terjesztenénk vissza a profilt, akkor az utolsó pontnál lévő fékezés meghaladhatja az előírt korlátot, hiszen az előző pontokban nem tudtuk, hogy meg kell állni a robotnak.

Mindkét esetben ugyanazt az eljárást alkalmazhatjuk a visszaterjesztéshez. Azért beszélünk visszaterjesztésről, mivel addig kell visszafelé haladni a pályán, amíg minden korlátot betartunk.

Kezdetnek kiszámoljuk, hogy a megváltozott sebesség következtében hogyan alakulnak a kerekek tangenciális gyorsulásai. A 4.19. egyenletben felhasználjuk a 4.3. egyenlet összefüggését a robot és kerék sebesség kapcsolatára.

$$\begin{aligned} a_{lt}(k) &= \frac{v_l(k+1)^2 - v_l(k)^2}{2 \cdot \Delta s_l(k)} = \frac{v(k+1)^2 - v(k)^2}{2 \cdot \Delta s_l(k)} \cdot p_l(k)^2 \\ a_{rt}(k) &= \frac{v_r(k+1)^2 - v_r(k)^2}{2 \cdot \Delta s_r(k)} = \frac{v(k+1)^2 - v(k)^2}{2 \cdot \Delta s_r(k)} \cdot p_r(k)^2 \end{aligned} \quad (4.19)$$

Amennyiben a kapott tangenciális gyorsulások megsértik a tangenciális vagy eredő gyorsulásra vonatkozó korlátokat kiszámoljuk, hogy mekkora robot sebesség esetében teljesülnének a korlátok. Ezt mindkét kerék esetén megteesszük és a szigorúbb sebesség korlátot fogjuk választani, mint robot sebesség. Ezt az eljárást mindaddig megteesszük visszafelé a pályán, amíg azt nem kapjuk, hogy egyik kerék sem sérti meg a korlátokat.

Most vizsgáljuk meg, hogy ha a kerék gyorsulás egy adott korlátot megsért, akkor hogyan kapjuk meg belőle azt a robot sebességet, amely esetében még nem sértjük meg a korlátot.

Először tekintsük a tangenciális gyorsulásra vonatkozó korlátot. A 4.19. egyenletet fejezzük ki  $v(k)$ -ra mindkét kerék esetén:

$$\begin{aligned}
v_l^t(k) &= \sqrt{v(k+1)^2 + \frac{2 \cdot a_{lt}^{max} \Delta s_l(k)}{p_l(k)^2}} \\
v_r^t(k) &= \sqrt{v(k+1)^2 + \frac{2 \cdot a_{rt}^{max} \Delta s_r(k)}{p_r(k)^2}},
\end{aligned} \tag{4.20}$$

ahol a  $v_l^t(k)$ ,  $v_r^t(k)$  jelölések arra utalnak, hogy a sebességek a tangenciális korlátból adódnak a bal és jobb kerék esetén.

Az eredő gyorsulásra vonatkozó korlát esetén pedig a 4.21. összefüggést használhatjuk. Ehhez felhasználjuk a 4.11. egyenletet (az egyszerűség kedvéért most elhagyjuk a kereket azonosító indexet, a két kerék esetén ugyanúgy történik a számítás):

$$a_t(k) = \frac{v(k+1)^2 - v^c(k)^2}{2 \cdot \Delta s(k)} \cdot p(k)^2 = \sqrt{(a^{max})^2 - (a_c^{max})^2} = \sqrt{(a^{max})^2 - \left((v^c(k) \cdot p(k))^2 \cdot c(k)\right)^2} \tag{4.21}$$

ahol a  $v^c(k)$  jelölés arra utal, hogy a sebesség az eredő gyorsulásra vonatkozó korlátból adódik.

A 4.21. egyenletet kifejezhetjük  $v^c(k)$ -re. Ekkor egy negyedfokú egyenletet kapunk, ami a következőképpen épül fel:

$$\begin{aligned}
d(k) &= \frac{p(k)^4}{4 \cdot \Delta s(k)^2} + c(k) \cdot p(k)^2 \\
e(k) &= -\frac{2 \cdot v(k+1)^2 \cdot p(k)^4}{4 \cdot \Delta s(k)^2} \\
f(k) &= \frac{v(k+1)^4 \cdot p(k)^4}{4 \cdot \Delta s(k)^2} - a_{max}^2 \\
0 &= v^c(k)^4 \cdot d(k) + v^c(k)^2 \cdot e(k) + f(k)
\end{aligned} \tag{4.22}$$

A 4.23. egyenlet valós, pozitív megoldásait keressük. Felmerülhet a kérdés, hogy mi garantálja, hogy mindig lesz valós, pozitív megoldás. A Viete-formula felírásával belátható, hogy mindig pozitív megoldása van az egyenletnek, a másodfokú egyenlet diszkriminánsának felírásával pedig, hogy lesz valós megoldás. Amennyiben több pozitív valós megoldása van az egyenletnek, akkor a legnagyobb megoldást választjuk.

Miután meghatároztuk  $v^c(k)$  és  $v^t(k)$  értékeit mindkét kerékre,  $v(k)$  értéke ezek közül a legkisebb lesz, hiszen így biztosíthatjuk, hogy a robot egyik kereke sem fogja megsérteni a két gyorsulás korlátot.

A visszaterjesztés során a sebesség és szögsebesség korlátokkal nem kell foglalkoznunk, hiszen mindkét esetben mikor módosítjuk a sebességet, csökkentjük az értékét.

### 4.2.3. Újramintavételezés

Miután elkészítettük a geometriai pályához tartozó sebességprofilt, létrehozuk a végleges pályát, amit majd a pályakövető egység bemenetként megkap. Ez a végleges pálya már időben egyenletesen lesz mintavételezve (mintavételezett pálya).

Először számoljuk ki az eltelt időt a geometriai pálya mentén. A számolás alapja, hogy két pályapont között a robot állandó gyorsulással halad.

$$\Delta t^g(k) = \frac{2\Delta s^g(k)}{v^g(k) + v^g(k+1)} \quad (4.24)$$

$$t^g(k+1) = t^g(k) + \Delta t^g(k) \quad (4.25)$$

A következő lépésben meghatározzuk, hogy az újramintavételezett pályánk hány pontból álljon. Ezt könnyedén megtehetjük, hiszen adott számunkra a kívánt mintavételi idő( $t_s$ ). Így a következő képlet adódik a mintavételezett pálya pontjainak számára:

$$N^s = \lceil t^g(N^g)/t_s \rceil + 1 \quad (4.26)$$

A pontok számába beleértjük a kezdő és végpontot is. A 4.26. egyenletből következik, hogy amennyiben  $t(N^g)$  és  $t_s$  nem egymás többszöröse, a mintavételezett pálya utolsó pontjához olyan időpont tartozik, amely nagyobb mint  $t(N^g)$ . A pálya végpontját még a későbbiekben tárgyaljuk, ott vissza térünk erre az eltérésre is.

Most pedig meghatározzuk a mintavételezett pálya pontjaiban a sebességet. Ezt a geometriai pálya alapján tesszük, figyelembe véve, hogy a mintavételezett pálya esetén is két pont között állandó gyorsulást feltételezünk. A számítás egy egyszerű lineáris interpolációt valósít meg:

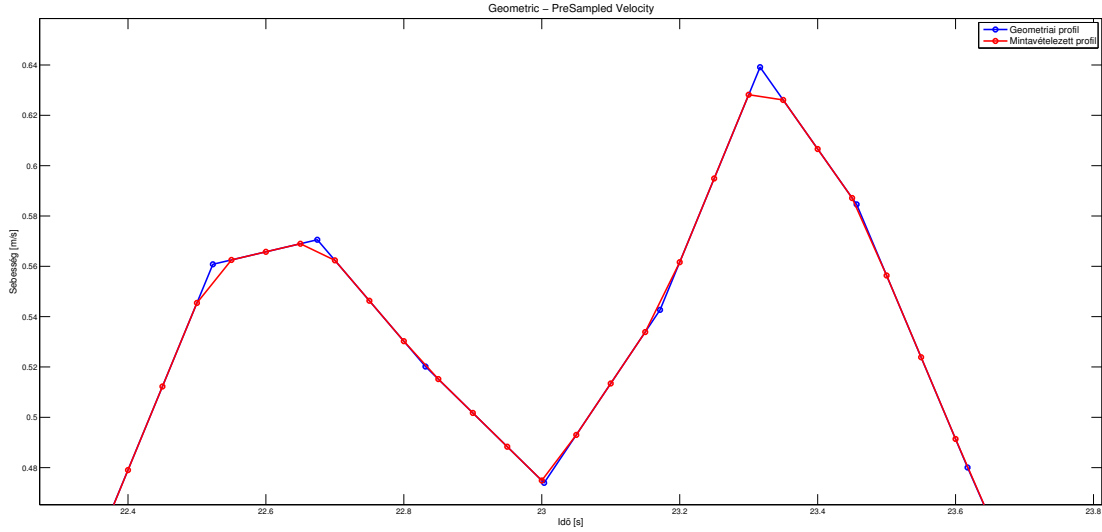
$$v^s(k) = v^g(j) + v^g(j+1) \cdot it(k) \quad (4.27)$$

$$it(k) = \frac{t^s(k) - t^g(j)}{t^g(j+1) - t^g(j)}, \quad (4.28)$$

ahol  $j$  jelöli a legkisebb indexet amelyre teljesül, hogy  $t^s(k) < t^g(j)$

A lineáris interpoláció miatt teljesül az a feltétel, hogy két pont között állandó gyorsulással mozogjon a robot.





**4.3. ábra.** A geometriai és mintavételezett sebességprofil.

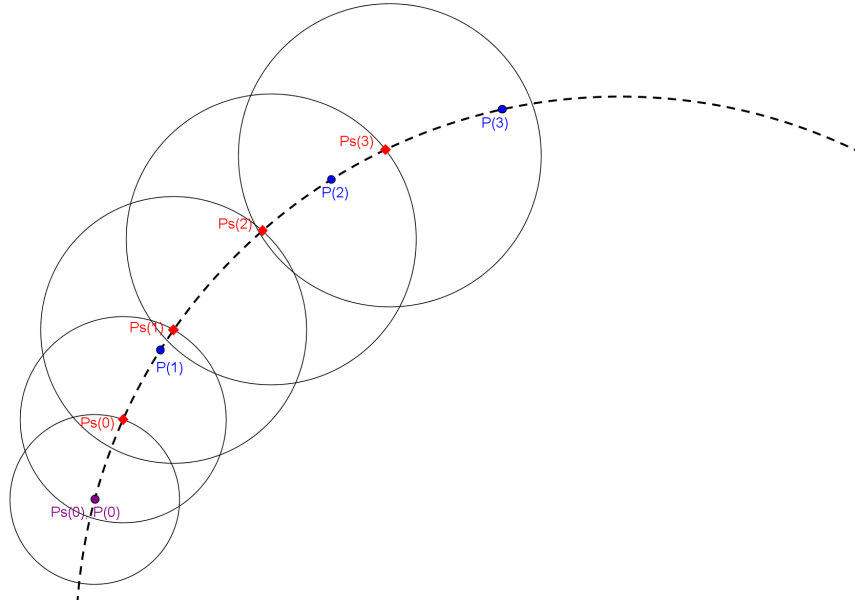
A kiszámított sebességprofil alapján könnyedén adódik a megtett út is:

$$\Delta s^s(k) = \frac{v^s(k) + v^s(k+1)}{2} \cdot t_s \quad (4.29)$$

$$s^{s+1}(k) = s^s(k) + \Delta s^s(k) \quad (4.30)$$

Így már rendelkezésünkre áll a robot kívánt sebessége, a megtett út, valamint az idő a mintavételezett pálya összes pontjában. Már csupán a pálya pontjainak koordinátáit kell ezek alapján meghatároznunk.

Mivel ismerjük a pálya pontok közötti távolságot, iteratív eljárással az előző pálya pont koordinátái alapján az aktuális pontról tudjuk, hogy egy körpályán helyezkedik el. További feltételünk, hogy a pont az eredeti, geometriai pályán rajta legyen. Ha vesszük a geometriai pálya pontjai közötti görbületből adódó köríveket, akkor az ívek és a kör metszéspontjai közül kell kiválasztanunk a keresett pontot. A kiválasztás egyszerű, ha megjegyezzük, hogy az előző pontnál melyik szakasz alapján találtuk meg a pontot, így csak attól a szakasztól kezdve kell keresni a metszéspontokat. Az algoritmus menete látható a 4.4. ábrán. Minden vizsgált szakasznál arra kell figyelni, hogy a metszéspont a szakasz határpontjai között helyezkedjen el. Az első szakasz vizsgálatánál még az is fontos, hogy az előző pont előtti metszéspontot ne vegyük figyelembe. Az ábrán a  $Ps(1)$  pontban ezért nem választhatjuk a másik metszéspontot. A legelső mintavételezett pontot a geometriai pálya első pontjába helyezzük el.



**4.4. ábra.** A mintavételezett pontok meghatározása.  $P(x)$  a geometriai pálya pontjait jelöli,  $Ps(y)$  pedig a keletkező mintavételezett pályát.

#### Mintavételezett pálya végpontja

Az lenne az optimális esett ha a mintavételezett pálya utolsó pontja egybeesne az eredeti pálya végpontjával, ahogyan a kezdőpontjaik ténylegesen egybeesnek. Alapvetően mi úgy hoztuk létre a mintavételezett pályát, hogy az a geometriai pálya sebességprofiljának megfeleljen, ez viszont nem garantálja az előző feltétel teljesülését.

Három hatás azt eredményezi, hogy nem fog teljesülni ez a feltétel a pálya utolsó pontjára:

1. Ahogy már említettük korábban nem biztos, hogy a két pályát ugyanannyi idő alatt járja be a robot. Ez maximum  $t_s$  időkülönbséget okozhat, és minden esetben távolabbi végpontot eredményez, mint az eredeti végpont.
2. A mintavételezett pálya sebességprofiljának elkészítésekor nem tökéletesen követi az eredeti sebességet a robot a mintavételezésből adódóan. Ez látszik a 4.3. ábrán is. A hiba megegyezik a két görbe alatti terület közötti különbséggel. Ez a hiba okozhat távolabbi és közelebbi végpontot is.
3. A harmadik hiba a koordináták meghatározásánál keletkezik. Ez a hatás is mindig távolabbi végpontot okoz.

A legtöbb esetben célszerű, ha a végpontok egybeesnek, így ezt a mintavételezett pálya meghatározásánál biztosítanunk kell. Ha egyszerűen az utolsó pályapontot az eredeti pálya végpontjába tesszük nem biztos, hogy betartjuk a robot gyorsulás korlátait, így más módszerhez kell folyamodnunk.

Az általunk használt algoritmus lényege, hogy a sebességprofilnak egy részét egy adott sebességgel eltoljuk úgy, hogy a két pálya végpontja pontosan egybeessen. Az eltolás mértékét ( $\Delta v_{corr}$ ) a következő képlettel kapjuk meg:

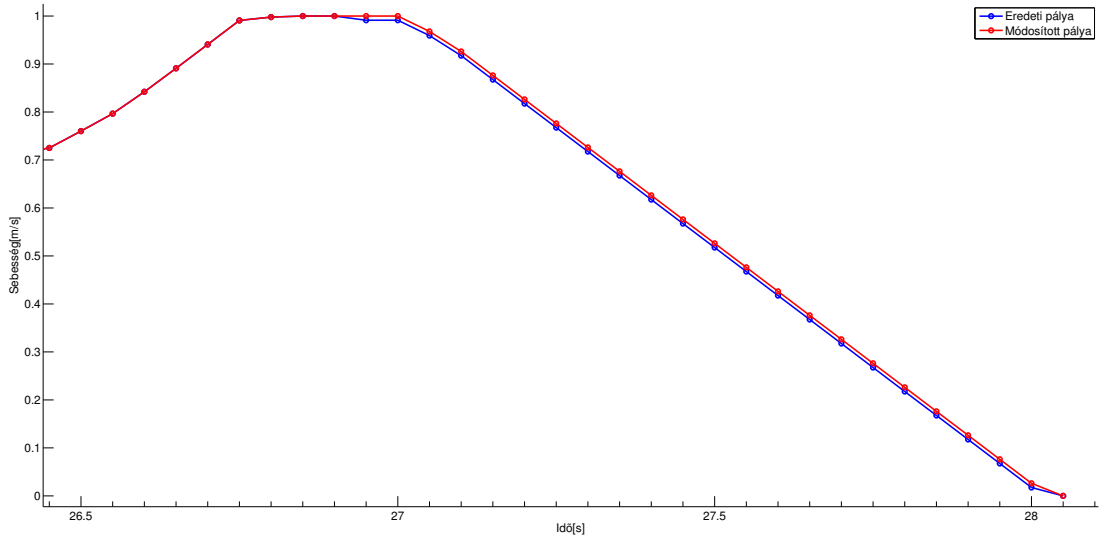
$$\Delta v_{corr} = \frac{\Delta s_{corr}}{t_s \cdot n}, \quad (4.31)$$

ahol  $\Delta s_{corr}$  a mintavételezett és a geometriai pálya végpontjai közötti távolság előjelesen. Ha a mintavételezett pálya utolsó pontja van távolabb, akkor negatív a távolság, különben pozitív.  $n$  pedig azoknak a sebességpontoknak a száma, amiket eltolunk.

A 4.31. egyenlet egyszerűen belátható ha felírjuk az eltolásból adódó területkülönbséget. A  $\Delta s_{corr}$  útkülönbséget azért kell előjelesen megadnunk, hogy mindkét esetben használható legyen az algoritmus, akkor is ha a mintaévttelezett pálya végpontja van távolabb és akkor is ha a geometriai pályáé.

A továbbiakban meghatározzuk azokat a sebességpontokat, amelyeket  $\Delta v_{corr}$  sebességgel eltolunk. Mivel a megváltozott sebességponthoz tartozó koordinátákat újra ki kell számolnunk, így minél kevesebb pontot szeretnénk eltolni a sebességprofilon. Viszont a sebesség és gyorsulás korlátokat be kell tartanunk, így nem tolhatunk el tetszőlegesen kevés pontot.

Vizsgáljuk külön a két alapesetet  $\Delta s_{corr}$  előjele alapján. Kezdjük azzal az esettel amikor  $\Delta s_{corr}$  negatív, tehát a mintavételezett pálya végpontja van távolabb (4.5. ábra). Ekkor a módosítandó szakasz kezdő pontjához tartozó gyorsulásnak pozitívnak kell lennie, hiszen mi csökkenteni fogjuk a soron következő pont sebességét és ha a gyorsulás pozitív, akkor csökken a robot gyorsulása a szakasz kezdőpontjában. Ha a gyorsulás negatív lenne a kezdőpontban, akkor könnyedén előfordulhat olyan eset, hogy a sebességcsökkentés után megszegjük a gyorsulás korlátot.



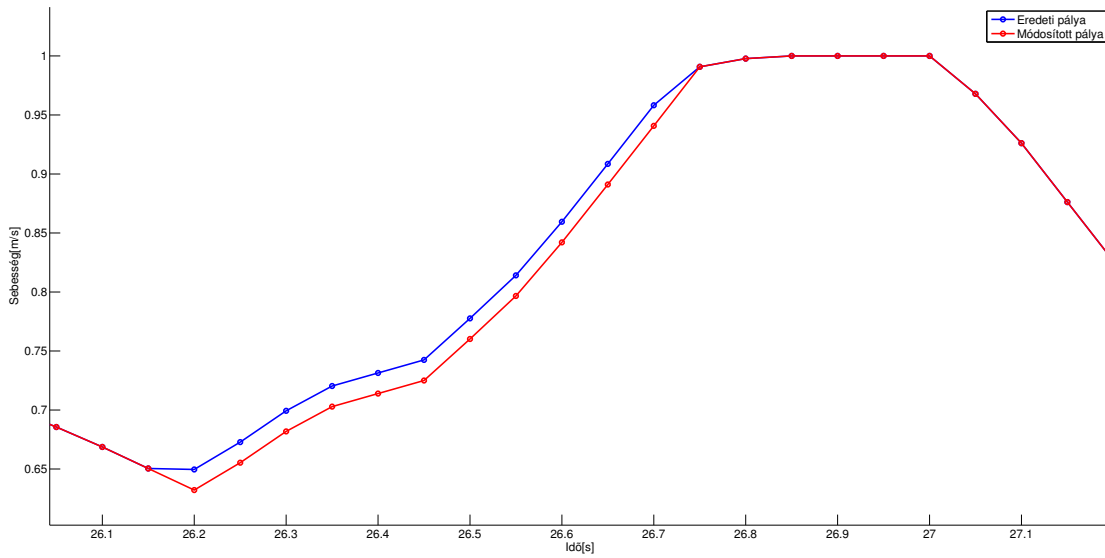
**4.5. ábra.** A módosított mintavételezett sebességprofil ha  $\Delta s_{corr}$  negatív.

A szakasz végpontjánál pedig negatív gyorsulás szükséges, hiszen a következő pont gyorsulása meg fog nőni a módosítás hatására, és ha pozitív lenne a gyorsulás, a gyorsulásra

vonatkozó korlátunkat könnyedén megszegnénk.

Tehát a legegyszerűbb esetben a szakasz kezdőpontja a pálya végén található lassító szakasz eleje, mielőtt lassítani kezd a robot és a végpontja pedig a pálya utolsó előtti pontja. Ennek a szakasznak a pontjait fogjuk a 4.31. egyenletből adódó  $\Delta v_{corr}$  sebességgel csökkenteni és így a robot pontosan a geometriai pálya végpontjában áll meg.

A másik eset, mikor  $\Delta s_{corr}$  pozitív, tehát a mintavételezett pálya végpontja messzebb van a geometriai pálya végpontjához képest. Ekkor mivel meg fogjuk növelni a szakasz sebességét pont fordítva kell szakaszt választanunk, a kezdőpontjánál negatív gyorsulás szükséges, a végpontjánál pedig pozitív. Így kerülhető el leginkább a gyorsulás korlát megszegése. Itt pedig egy megfelelő szakasz a pályán található utolsó gyorsító rész.



4.6. ábra. A módosított mintavételezett sebességprofil ha  $\Delta s_{corr}$  pozitív.

Abban az esetben ha valamiért az előbb leírt triviális szakaszok mégsem jók, másik szakaszt kell választanunk. Első lépésként válaszunk ki egy megfelelő végpontot a keresendő szakaszhoz. Ha  $\Delta s_{corr}$  negatív akkor megfelelő választás a pálya utolsó előtti pontja, ha pozitív akkor pedig a pálya utolsó olyan pontja, ahol a gyorsulás pozitív. Ezután keressünk ehhez a kiválasztott végponthoz egy kezdőpontot, de most már vegyünk figyelembe a robot korlátozásait és természetesen azt, hogy az útkülönbség az előírt  $\Delta s_{corr}$  legyen. Miután megkaptuk a kezdőpontot is még ellenőriznünk kell, hogy a végpontnál a robot korlátozásai nem sértjük-e meg. Ezt az első lépésben nem tudtuk megtenni, mivel nem ismertük a végpontot, így  $\Delta v_{corr}$  értékét sem. Ha a végpont megsérti a korlátokat, új végpontot kell keresnünk és ahhoz új kezdőpontot. Ezt addig kell folytatnunk, amíg a robot korlátozásait betartjuk.

Miután a módosított sebességprofil elkészült a szakasz elejétől kezdve újra kell számolnunk a mintavételezett pálya koordinátáit. Ezt teljesen ugyanúgy történik, ahogyan már egyszer megkaptuk a mintavételezett pályát. Azért volt fontos, hogy a lehető legkevesebb sebességpontot toljuk el, hogy a koordináták újraszámolását is kevesebb pontnál kelljen megtenni.

Habár a fenti iteratív eljárás hosszadalmas tűnik vegyük figyelembe, hogy általában igen kis távolságot kell kompenzálnunk, amihez kis sebességkülönbség tartozik. Ebből adódóan nagy valószínűséggel a triviális szakasz is megfelelő lesz számunkra.

Szintén fontos megjegyezni, hogy mivel a tárgyalt három hatás elsősorban negatív  $\Delta_{s_{corr}}$ -t eredményez, így a gyakorlatban ez az eset fordul elő. A gyakorlatot tekintve még megemlítendő, hogy a  $\Delta_{s_{corr}}$  nagyságrendje igen csekély a pálya teljes hosszához képest, nehezen elképzelhető akár csak 1%-ot meghaladó arány a teljes pálya hosszához képest.

### 4.3. Autószerű robotmodell

Ebben a részben áttekintjük a különbségeket az időparaméterezésben, ha autószerű robotmodellt alkalmazunk. A lényeges különbségek a modellben és a korlátozásokban mutatkoznak. Ezek csak a geometriai sebességprofil alkotásakor mutatkoznak meg, a további lépések teljesen megegyeznek a fentebb részletezettel.

Az autószerű robot modellje a következő.

$$\begin{aligned}\dot{x} &= v \cos \theta \\ \dot{y} &= v \sin \theta \\ \dot{\theta} &= \frac{v}{L} \tan \phi,\end{aligned}\tag{4.32}$$

ahol  $L$  az első és hátsó tengelyek távolsága,  $\phi$  a kormányyszög,  $v$  pedig a hátsó tengely középpontjának tangenciális sebessége, melyet a robot referenciapontjának nevezünk.

Könnyen belátható, hogy az egyes kerekek sebességkülönbsége a megtett utak különbségéből adódik, mely arányos az egyes kerekekhez tartozó elfordulási sugárral, így elegendő felírunk ezeket a sugarakat, illetve ezek arányát. A ?? ábrán látható hogy egy ilyen robot esetén ezek a sugarak hogyan származtathatók.

A 4.32 harmadik egyenletéből könnyen adódik, hogy a referenciapont által bejárt kör sugara

$$\rho = \frac{L}{\tan \phi}\tag{4.33}$$

alapján számolható, innen a hátsó kerekek által bejárt kör sugara a következőképpen adódik:

$$\begin{aligned}\rho_{rl} &= \rho - \frac{d}{2} \\ \rho_{rr} &= \rho + \frac{d}{2},\end{aligned}\tag{4.34}$$

ahol a  $d$  az egy tengelyen található kerekek távolsága. (Bár a 4.33 alapján a sugár lehet negatív, de a profilozás során ezt nem használjuk ki. A továbbiakban az egyenleteket mindig pozitív sugárra írjuk fel, de ezt később részletezett okok miatt nem használjuk ki.)

Ahhoz hogy fordulás közben ne csússzanak meg oldal irányba az első kerekek, a két oldali keréknek különböző szögben kell állnia. Ezt nevezzük Ackermann hajtásnak. Ez a

különbség ugyan csak a különböző fordulókörrel áll összefüggésben, és a következőképpen számolható a kormányszögéből:

$$\begin{aligned}\phi_r &= \arctan\left(\frac{L}{\rho - \frac{d}{2}}\right) \\ \phi_l &= \arctan\left(\frac{L}{\rho + \frac{d}{2}}\right)\end{aligned}\tag{4.35}$$

Az is könnyen belátható, hogy az első kerekek a hátsó párjukhoz képest a kerékhez tartozó kormányszög koszinuszával fordítottan arányos, ebből számítható az első kerekek fordulási sugara:

$$\begin{aligned}\rho_{fl} &= \frac{\rho - \frac{d}{2}}{\cos \phi_l} \\ \rho_{fr} &= \frac{\rho + \frac{d}{2}}{\cos \phi_r}\end{aligned}\tag{4.36}$$

#### 4.3.1. Korlátozások

Az autószerű robot esetén is nagyon hasonló korlátozásokkal kell számolnunk, mint egy differenciális robot esetén, viszont némelyek egy másikból származtathatók:

$$\begin{aligned}v^{max} &: \text{A robot pályamenti sebesség korlátja} \\ \phi^{max} &: \text{A robot maximális kormányszöge} \\ a_{wheel}^{max} &: \text{A robot bármely kerekének eredő gyorsulás korlátja}\end{aligned}\tag{4.37}$$

A differenciális robotnál használt  $\omega^{max}$  helyett itt  $\phi^{max}$  szerepel, mivel ez egy fizikai korlátja az autónak, de ez szükség esetén egyszerűen átszámítható a maximális sebesség ismeretében. A gyorsulások közül csak a  $a^{max}$  jelent igazi korlátozást, mivel egy egyenes pályán haladva a centripetális gyorsulás értéke nulla, így ebben az esetben ez megegyezik a tangenciális gyorsulással. Körpálya esetén pedig a 4.9 alapján származtatható.

Jelentős különbség, hogy ebben az esetben nem határozzuk meg a maximális sebességet minden kerékre, mivel ez nagyon elbonyolítaná a számításokat, de szerencsére erre nincs is szükség. Mivel a különböző keréksebességek a sugarak arányából számíthatók, így nekünk elegendő mindig csak a legnagyobb sugárral számolni. Ez a 4.34 és a 4.36 egyenletek alapján látható hogy pozitív sugár esetén a bal, míg negatív esetén a jobb oldali első kerék esetén teljesül. Az algoritmus során, pontosan ezért mi csak a sugár abszolút értékével számolunk.

Az autószerű robot esetén is azzal a feltételezéssel élünk, hogy a kerekek tapadási tényezője irányfüggetlen, bár ez a feltételezés egy rendes autónál már nem feltétlen állja meg a helyét, de az általunk használt robotautó kerekei esetén ez igen jó közelítést mutat.

#### 4.3.2. Geometriai sebességprofil

A sebességprofil meghatározása teljesen analóg módon történik az eddig látottakkal. Meghatározzuk a maximális sebességet, majd az aktuális sebességből kiszámítjuk a centripetális

gyorsulás értékét a leginkább terhelt kerék esetén. Ha ez nem sérti meg a korlátokat akkor ebből számítható a terhelt kerék tangenciális gyorsulása, majd abból a kerék sebessége. Innen már egy egyszerű arányosságból adódik a robot sebessége is a következő időpontban.

A profil visszaterjesztés ugyancsak hasonlóan működik, mint a differenciális robot esetén, egyetlen apró kivétel, hogy a 4.19 egyenletet ebben az esetben csak a legnagyobb sugáron mozgó kerékre írjuk fel. Másik változás, hogy a megtett utat is a sugarak arányából származtatjuk, így a következő egyenlet adódik:

$$a_t(k) = \frac{v(k+1)^2 - v(k)^2}{2 \cdot \Delta s(k)} = \frac{v(k+1)^2 - v(k)^2}{2 \cdot \Delta s(k)} \cdot p(k), \quad (4.38)$$

ahol  $p(k)$  a maximális sugáron mozgó kerék és a referencia pont sugarának aránya.

Innen átrendezve, és kifejezve  $v^c(k)$ -t, a következőt kapjuk:

$$\begin{aligned} d(k) &= \frac{p(k)^2}{4 \cdot \Delta s(k)^2} + c(k) \cdot p(k)^2 \\ e(k) &= -\frac{2 \cdot v(k+1)^2 \cdot p(k)^2}{4 \cdot \Delta s(k)^2} \\ f(k) &= \frac{v(k+1)^4 \cdot p(k)^2}{4 \cdot \Delta s(k)^2} - a_{max}^2 \\ 0 &= v^c(k)^4 \cdot d(k) + v^c(k)^2 \cdot e(k) + f(k) \end{aligned} \quad (4.39) \quad (4.40)$$

Ez a módosítás nem érinti az egyenlet megoldhatóságát, hiszen a két egyenlet ekvivalens, csak a távolság kerékre átszámítása máskor történik meg.

## 5. fejezet

# Pályakövető szabályozás - 10 oldal CsG/NA

5.1. Differenciális robotmodell - 4 oldal NA

5.1.1. Sebesség szabályozás - 2 oldal

5.1.2. Orientáció szabályozás - 2 oldal

5.2. Autószerű robotmodell - 4 oldal CsG

5.2.1. Virtuális vonalkövező szabályozás - 2 oldal



## 6. fejezet

# Algoritmusok megvalósítása - 4 oldal CsG/NA

### 6.1. Szimuláció

### 6.2. Valós robotok

## 7. fejezet

# Összegzés - 1 oldal CsG/NA

### 7.1. Értékelés

### 7.2. Jövőbeli fejlesztések

# Irodalomjegyzék

- [1] Kiss Domokos: *Autonóm robot fejlesztése az Eurobot 2007 versenyre, Diplomamunka.* 2007, BME-VIK Automatizálási és Alkalmazott Informatikai Tanszék.
- [2] Domokos Kiss: *The RTR Path Planner for Differential Drive Robots.* 2014.
- [3] Dirk-Jan Kroon: 2d line curvature and normals. <http://www.mathworks.com/matlabcentral/fileexchange/32696-2d-line-curvature-and-normals/content/LineCurvature2D.m>.
- [4] Steven M. LaValle: *Rapidly-exploring random trees: A new tool for path planning.* 1998, Computer Science Dept., Iowa State University.
- [5] Christoph Sprunk: *Planning Motion Trajectories for Mobile Robots Using Splines.* 2008, Albert-Ludwigs-Universität Freiburg.
- [6] Katona Gyula Y. – Recski András – Szabó Csaba: *A számítástudomány alapjai.* 2. javított kiadás. kiad. 2001, Typotex.